

NF₃; NF₃⁺

UF_3

Bailey C.R. Hall J.B.
Thompson J.W.

VI37

J.Ch.Ph. 5, 204

U.K. cleanup UF_3 .

NF_3

J.Schomaker, C.S.Lin

1950

1973

JACS 72 (3) 1182-7

III

Fallglocken gruppe. Vielego-
berne NF_3 .

$$N-F = 1,37 \pm 0,02 \text{ \AA}$$

$$\angle FNR = 102,5 \pm 1,5^\circ$$

CA44
5164:

$$F-F = 2,14 \text{ \AA}$$

III - 811

NF₃

M.B. check

Sheridan J., Gordy W. 79, 513-15 | 1950
Phys. Rev.

N¹⁴F₃

SS.F = 1,371 Å

N¹⁵F₃

L = 102°9'

III-1001-BP
ω (O_2 , CO, OCS, N_2O , POF, CH_3F , CD_3F ,
 NF_3 , PSF_3 , PF_3)

I95I

B9-5064-11

Jonnston C.M., Trambarulo R., Gordy W.
Phys. Rev. I95I, 84, II78-80.

"Microwave spectroscopy in the region
from two to three millimeters".

C.A., I952, 2403a

Eets gr.n. J.P.

WF₃

W. Gerdy

1952

⁴
sp.

Jm. N.J. Acad. Sci. 55, 224-28

PF₃
POF₃
HCN
HCN

M. B.翠夫特 PF₃, NF₃,
POF₃, gCN, HCN;

CA 1953, 3115b.

814-III

1952

NF₃, PF₃ (γ_i , mech. nuc., mcp nuclear, gyroscopic)

Wilson M. K., Palo S. R.

J. Chem. Phys., 1952, 20, 1416-19.

The infrared spectra of NF₃ and PF₃

EOTB φ. H. B

c.a., 1953, 4739:

✓ φ

10

1955

NF₃ u
NH₃

R. S. Mulliken

JACS. 77, 887

Узлы связи в молекулах
межа NF₃ u NH₃ u в
произвольных

NF₃ < 102°9'

NF₃

И.К.
Рашан
Смирнов

Pace E.W. (Пейс)

1955

Pierce L. (Пирс)

J. Chem. Ph. 23, № 7, 1248-50

И.К. и рашан смесь NF₃

И.К. смесь загодр. NF₃ исчез.

в обл. 400 си⁻¹ - 3000 си⁻¹

Рашан смесь исчез. в обл. 400-2000 си⁻¹

NF₃ исчез. в обл. 400-2000 си⁻¹

из инф. кр. спектр -

$$\nu_1(A_1) = 1031 \text{ см}^{-1} \quad \nu_3(E) = 907 \text{ см}^{-1}$$

$$\nu_2(A_1) = 642 \text{ см}^{-1} \quad \nu_4(E) = 497 \text{ см}^{-1}$$

Соотв. из расчета спектра поглощ.

$$\nu_1(N) = 1050 \text{ см}^{-1} \quad \nu_3(E) = 905 \text{ см}^{-1}$$

$$\nu_2(A_1) = 667 \text{ см}^{-1} \quad \nu_4(E) = 515 \text{ см}^{-1}$$

Различие с предыдущими расчетами
связано с неправильной передачей
шагов и обработкой.

Несколько расчетов более правильных

1955

NF₃

Мадотинский А. Е.

Число химии 1955, 24, 430

Радиоспектроскопия и строение
молекул (обзор около 130 советских
и зарубежных патентов и
изобретений связанных с
расстояние.

(чи. CO, II)

Reese R.M., Dibeler V.H.,

1956

NF₃

Молярная

J. Chem. Phys., 1956, 24, 1175 - 77

Измерение и сопоставление

NF₃ экспериментальные данные.

NF₃

III

✓SF₃

S. Barkerianae

1957

Dresser. Abst. 17, 1906.

Малая архипелаг суппортуус: У.К.
находк в маркире Коледжес

✓SF₃

has prox. Edgell'a

new. gen. new $\frac{v}{3}$ sun. monospor

~~monosporus~~

Kew. nat. nec.

CA 52

88a

1953

NF₃

Schatz P. K.,

J. Chem. Phys., 1958, 29, 481 - 83Homogeneous ground NF₃.

Ka conformer:

- 1) Dawson no resonances. pair electrons
- 2) Dawson no A.C. hyperexchange
- 3) Grabenend c resonance energy not CH₄H
- 4) Hartogsen's ratio

parameters: $F_{12} = 0,75$ u $F_{34} = 0,65$ u $f_{\alpha} = 1,92$ $f_{\alpha\alpha'} = 0,31$; $f_{\alpha 2} = 0,47$ $f_{\alpha 2'} = -0,18$ $f_2 = 4,36$ $f_{22} = 0,67$

F_{11}	F_{12}	F_{22}	F_{33}	F_{34}	F_{44}	$F_{11}, F_{33}, \text{ mpa} \cdot A$
2,5349	0,75	5,2047	1,6593	0,5	3,4653	F_{12}, F_{34} mpa
2,3134	0,9	5,3579	1,6080	0,65	3,6831	
2,2371	1,	6,6598	1,5901	0,25	3,8126	F_{22}, F_{44} mpa/A
2,1307	1,25	7,2564	1,5818	0,9	3,9890	

$$F_{11} = f_2 + 2f_{\alpha\alpha}^1 \quad F_{12} = 2f_{\alpha\beta} + f_{\alpha\alpha}^1 \quad F_{22} = f_2 + 2f_{\beta\beta}^1$$

$$F_{33} = f_2 - f_{\alpha\alpha}^1 \quad F_{34} = f_{\alpha\beta} - f_{\beta\alpha}^1 \quad F_{44} = f_2 - f_{\beta\beta}^1$$

Waagewo, wo D_{2K} g. i. gelten $(21 \div 23) \text{ kg/cm}^2$,
 an D_{2K} g. f. gelten

N₃

Schatz P. N., Levin G. W.

1958

J. Chem. Phys., 1958, 29, 475.Абс. монодисперсия и осаждение
размера коллоидов N₃.

232

! 1

ν₁(A₁) 1032 cm⁻¹ Спектромерν₂(A₁) 642 " Неренст-Деб-ν₃(E) 906 " излуч. изг. 21.ν₄(E) 492 " Красн. Налл
и СБР.

III - 1036

NO_2 , O_3 , SO_2 , P_2O , NH_3 , (СИЛОВЫЕ)
 NF_3 , H_2O , H_2S , H_2Se , ClO_2 ПОСТОЯННЫЕ

1959

Van de Vorst A.

Bull. cl. sci. Acad. roy. Belg., 1959, 45, N 10
966-973.

О применении поля центральных сил к
молекулярным колебаниям.

РЖХ, 1960, N 21,
83697.

Чтобы было одинаково
10 одинаково

10

1960

NT

Conan M., Gordy W.

Brill.-Am. Phys. Soc. 1950, 5, 291 (v4)

Microwave field in hydrogen-deuterium
isotopic composition, para-
negatively charged ion source -
measured by BrCN and NF_3 .

One BrCN $B = 5096,808$ m/c/sec; $\beta = 3,716,407$ m/c/sec; $K = -7,6^{-w}$ m/c.One NF_3 $B_0 = 10580,45$ m/c/sec; $\beta_3 = 0,0095$ m/c/sec. $\partial \beta_K = -0,022$ m/c/sec.

1960

№ 3

ЗБ144. Теория интенсивностей инфракрасных спектров молекул. VI. BF_3 , NF_3 , SiF_4 и SF_6 . Свердлов Л. М. «Оптика и спектроскопия», 1960, 8, № 2, 183—190.—В первом приближении валентно-оптические схемы произведен расчет электрооптических параметров молекул BF_3 , NF_3 , SiF_4 и SF_6 на основе использования абсолютных интегральных интенсивностей ИК-полос указанных молекул. Установлено закономерное возрастание дипольного момента связи X—F при увеличении разности электроотрицательностей атомов X и F. Предыдущее сообщение см. РЖХим, 1960, № 21, 83708.

Резюме автора

xc·1961·3



NF₃

Sobhanadri Y.

1960

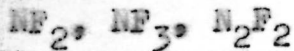
Proc. Natl. Inst. Sci. India
Pt. A 26, 110

Дипольное moments
и ионный характер
для PCl₃, PF₃ и NF₃.

(для PCl₃) III

803-III

1961



(I, энтроне чалз N-F)



Herron John T., Dibeler Vernon H.
J. Res. Nat. Bur. Standards, 1961,

A65 N 5, 405-409 (cont.)

Mass spectrometric study of
 NF_2 , NH_3 , N_2F_2 and N_2F_4 .

PK., 12528, 1962

10m

Леста ф. №

804-111

 NF_2 ($\Delta_0 \text{AH}_f$)

1961

 $\text{N}_2\text{F}_4 \cdot \text{NF}_3$ ($\Delta_0 \text{P}_e$ note NF_2^+)

Kennedy Al., Colburn G.B.

J. Chem. Phys., 1961, 35, n 5,

1892-1893 (acrylic)

Strength of the N-F bonds in
 NF_3 and N-F and N-N bond in N_2F_4 .

PK., 1962, 16 30



E o r b d. N.

90

to M

WF₃
Спектр

№1 В185. Спектр поглощения в вакуумной ультрафиолетовой области и дипольный момент фтористого азота.
La Paglia S. R., Duncan A. B. F. Vacuum ultraviolet absorption spectrum and dipole moment of nitrogen trifluoride. «J. Chem. Phys.», 1961, 34, № 3, 1003—1007
(англ.)

Впервые исследованы электронные спектры поглощения NF₃. В области 1200—1800 Å интенсивность поглощения монотонно убывает до ничтожных значений при 1800 Å без заметных следов структуры, соответствующей различным электронным переходам. В области длин волн короче 960 Å при давлениях NF₃ ниже 0,008 мм рт. ст. качественно обнаружено сильное поглощение. Граница поглощения 960 Å соответствует нижнему потенциалу ионизации (согласно данным электронной бомбардировки 939 Å). Обсуждаются различия спектров NF₃ и NH₃. Данные о дипольном моменте и потенциале ионизации NF₃ использованы для построения волн. ф-ций NF₃ методом ЛКАО. Ю. Мазуренко

B 62 - 5318-III

Ф. 1962. 1B

NF₃
Синтез

III - 804

11961

17Б29. Спектр поглощения в вакуумной ультрафиолетовой области и дипольный момент трехфтористого азота. La Paglia S. R., Duncan A. B. F. Vacuum ultraviolet absorption spectrum and dipole moment of nitrogen trifluoride. «J. Chem. Phys.», 1961, 34, № 3, 1003—1007 (англ.).—Впервые исследованы электронные спектры поглощения NF₃. В области 1200—1800 Å интенсивность поглощения монотонно убывает до ничтожных значений при 1800 Å без заметных следов структуры. В области длии волны короче 960 Å при давл: < 0,008 мм рт. ст. качественно обнаружено сильное поглощение. Граница поглощения соответствует нижнему потенциалу ионизации (согласно данным электронной бомбардировки 939 Å). Обсуждаются различия спектров NF₃ и NH₃. Данные о дипольном моменте и потенциале ионизации NF₃ использованы для построения волновых функций NF₃ методом ЛКАО.

Ю. Мазуренко

2.1962. 17

РДР-5318-III

WF₃

BP-5318-III

1961

y. sp.

Vacuum ultraviolet absorption spectrum and dipole moment of nitrogen trifluoride. S. E. La Paglia and A. B. F. Duncan (Univ. of Rochester, Rochester, N. Y.). *J. Chem. Phys.* 34, 1003-7(1961).—At the lowest pressures, the long-wavelength limit of absorption is at approx. 960 Å., in agreement with the lowest ionization potential of the mol. (939 Å.) Quant. intensity measurements showed a smooth decrease of the absorption coeffs. to zero at about 1800 Å., with no indication of even partly resolved electronic transitions. Comparisons were made with the electronic spectrum of NH₃. The mol. dipole moment was used to obtain an equiv. orbital representation of the NF₃ wave function.

Henry Leidheiser, Jr.

C.A. 1961-55-26

26653d

I962

NF₃

Kaufman J.J.

J.Chem.Phys., 37, 759

(cu. NF₂)

Some theoretical aspects of bonding
in N-F compounds.

(cu. NF₂, III)

1963

B9P-5086-IIINF₃phosphate
copper.

Raman spectrum of gaseous NF₃. Yu. I. Kotov and V. M. Tatevskii. *Optika i Spektroskopiya, Akad. Nauk SSSR, Otd. Fiz.-Mat. Nauk, Sb. Statei* 2, 305-6(1963). The results obtained confirm infrared data reported previously (Wilson and Polo, CA 47, 4739*i*; Pace and Pierce, CA 49, 13781*d*). A. Libackyj

III - 2344 - BPII - 2934

C.A. 1963. 59. 13

147389

В99 - 5086 - 111

1963

NF₃

11 Б126. Колебательный спектр комбинационного рассеяния газообразного NF₃. Котов Ю. И., Татевский В. М. В сб. «Оптика и спектроскопия». Т. 2. М.—Л., АН СССР, 1963, 305—306

Исследован спектр комб. расс. газообразного NF₃ при давлении 2,5 атм. В качестве источника возбуждения использованы 4 ртутные лампы низкого давления мощностью по 2 квт. В спектре NF₃ зарегистрированы две широкие полосы 495 и 911 см⁻¹, что подтверждает правильность их отнесения к вырожденным (неполносимметричным) колебаниям молекулы NF₃, и две резкие полосы 1033 и 646 см⁻¹, относящиеся к полносимметричным колебаниям молекулы. Полученные данные хорошо согласуются с данными по ИК-спектру поглощения NF₃.

Э. Тетерин

X·1964·1

ВФ - 508 - III

1963

NF₃

спектр

11 Д292. Колебательный спектр комбинационного рассеяния газообразного NF₃. Котов Ю. И., Татевский В. М. В сб. «Оптика и спектроскопия». Т. 2. М.—Л., АН СССР, 1963, 305—306

Приведены результаты исследования спектра комб. рас. газообразного NF₃ с помощью многоходовой кюветы при давл. 2,5 атм. Наблюденны две широкие полосы 495 и 911 см⁻¹, отнесенные к неполносим. колебаниям. Две другие полосы (1033 и 646 см⁻¹) отнесены к полносим. колебаниям. Полученные значения частот хорошо согласуются со значениями, найденными из ИК-спектров поглощения.

III - 2777 - ВФ

III - 2777 - ВФ

Ф.1963.НД292

БР 2687-11

БР 5104-11

NF_2 } (де, синевые пост.)
 NF_3

1963

Комплект И. И., Матвеевский д. и.

Бюлл. Моск. ун-та, Химия, 1963, №2, 3-5

Расчет синевых посторонних газ сме-
шаний NF_2 и NF_3 .

ЕСТЬ ОРИГИНАЛ

Рекл., 1963, 20675

10

V 112454

N_2F_4 (We, сялодие постоянные) 1963

N_2H_4 , HF_2 } (сялодие постоянные)
 HF_3 , C_2F_6)

— отов № 10, Чатовский А.И.
ОСТИ. ОСК, ун-та "Университет", 1963.

№ 1, 10-12

Расчет колебательного спектра
молекулы тетрафторогидразина N_2F_4 .

РФ., 1963, 8150

Есть оригинал.

1964

NF₃monocrystal

Absorption spectra of matrix-isolated nitrogen trifluoride from 18 to 50 Gc. R. L. Armstrong, J. B. Newman, and J. J. Whalen (Johns Hopkins Univ., Baltimore, Md.). AD 608739. Avail. CFSTI, 33 pp.(1964)(Eng). An exptl. study has been made of the absorption spectrum of NF₃ mols. trapped in an Ar matrix in the microwave region, 18-50 Gc. A discussion of the properties of such crystals is given, followed by a description of the exptl. app. and technique. No microwave absorption in excess of 1 db. was observed, 1 db. being the smallest signal which could be detected by the microwave spectrometer used in this expt. A discussion of this result is given together with recommendations for future expts. From *U.S. Govt. Res. Develop.* Rept. 40(2), 81(1965).

TCVL

C.A. 1965. 63-4
37954

NF₂ Cl

1964

ИК-спектр

V 12 Д187. Инфракрасный спектр и расчет колебательного спектра молекулы хлордифторамина (NF₂Cl). Москвитина Е. Н., Кузяков Ю. Я. «Вестн. Моск. ун-та. Химия», 1964, № 2, 23—25

Исследован ИК-спектр поглощения NF₂Cl (I) в области 400—3000 см^{-1} в газообразном и твердом состояниях. Произведен расчет колебательного спектра I с силовыми постоянными, полученными для аналогичных молекул. На основании расчета, а также анализа литературных данных предложено следующее отнесение для основных частот I (в см^{-1}): A' 932 (NF), 698 (NCl), 556; A'' 854 (NF), 378. Рассчитанное значение частоты 4-го колебания класса A' равно 235 см^{-1} . В. Алексанян

т. 1964-128

NF₂Cl

1964

И. К. Амбар

23 Б129. Инфракрасный спектр и расчет колебательного спектра молекулы хлордифторамина (NF₂Cl). Москвитина Е. Н., Кузяков Ю. Я. «Вестн. Моск. ун-та, химия», 1964, № 2, 23—25

Исследован ИК-спектр поглощения NF₂Cl (I) в области 400—3000 см^{-1} в газообразном и твердом состояниях. Произведен расчет колебательного спектра I с силовыми постоянными, взятыми из аналогичных молекул. На основании расчета, а также анализа литературных данных предложено следующее отнесение для основных частот I (в см^{-1}): A' 932 (NF), 698 (NCl), 556; A'' 854 (NF), 378. Рассчитанное значение частоты ν_4 класса A' равно 235 см^{-1} .

Б. Александри

г. 1964. № 23

NF₃

В 90 - 3703-111

1964

12 Б140. Средние амплитуды колебания. Термодинамические функции некоторых тригалоидопроизводных элементов V группы. Nagagaian G. Mean amplitudes of vibration and thermodynamic functions in some group 5 trihalides. «Indian J. Pure and Appl. Phys.», 1964, 2, № 8, 237—241 (англ.)

Методом Цивина авторы вычислили при 0 и 298° К средние амплитуды колебания для молекул NF₃, PF₃, PB₃, PJ₃, AsBr₃, AsJ₃, относящихся к точечной группе симметрии C_{3v}. При комнатной т-ре средние амплитуды колебания расстояний как между связанными, так и между несвязанными атомами возрастают при переходе от низших членов ряда галогенов к высшим (F→J) для случая P и As. Для ряда т-р в интервале 50—2000° К для всех исследованных молекул вычислены статистич. термодинамич. функции (энталпия, свободная энергия, энтропия, теплоемкость) и моменты инерции. Н. Чумаевский

21.1965.12



NF₃

PF₃

PBr₃

PY₃

AsBr₃

AsI₃

Tsp.

6ws

B9P-3703-111

1964

Mean amplitudes of vibration and thermodynamic functions of some Group V trihalides. G. Nagarajan (Oklahoma State Univ., Stillwater). *Indian J. Pure Appl. Phys.* 2(8), 237-41 (1964). The mean amplitudes of vibration for NF₃, PF₃, PBr₃, PI₃, AsBr₃, and AsI₃ were calcd. from 0 to 298°K. At ambient temp., the mean amplitudes of vibrations for the bonded as well as nonbonded distances increase from lower to higher members of the halogen series of P and As. The molar thermodynamic functions were calcd. in the temp. range from 50 to 2000°K., assuming a rigid rotator harmonic oscillator model.

Wesley W. Wendlandt

C.A. 1965. 62.9
1204e

12

1985

NF₃

III

4330-

н.н.

849

Kaufman J. J., Burnelle L.,
Hamann J. R.

AIAA Bull., 2, n3, 109.

Возможность предсказа-
ния стационарных не-
линейных с начальными
условиями -  (ал. N₂F₂)

NF₂, NF₃

Rauhman

Moham

The easi

of, F

chemical

W

N₂F₂ (τ_{N-F} , τ_{N-N} , J, Y_i, D₀) 1065
3 XIII 16/70

H.H. Burnette L.A. Hamann J.R.

III. Ser. 1065, 59, 8-22

ability of predicting probabilities

of different quantities

calculations

region of N

constant, k, w, l



M. 1680

1965

FNF₂, HNF₂, CH₃NF₂, CF₃NF₂, ClNF₂,
NF₂NF₂ (V_i, φω3. γυν. θ-βα)

Ward G.A., Craig A.D., Wright C.M.,
Chien J.C.W.

Am. Chem. Soc., Div. Fuel. Chem. Preprints,
1965, 9(1), 172-82

The chemistry of difluoramines

F

CA., 1966, 65, N12,

18147f

J, Be

NF₃

Abramowitz S.,
Levin J. W.

1966

J. Molec. Spectrosc., 19, n 4, 461.

Инфракрасные спектры ко-
представляют собой Σ -носители.

(см. BF_3^{III})

NF₃

XIII - 1694

1966

ЗД134. Модель неподеленной пары и колебательные силовые постоянные NF₃. Curtis E. C., Muirhead J. S. The lone-pair model and the vibrational force constants of NF₃. «J. Phys. Chem.», 1966, 70, № 10, 3330—3336 (англ.)

Составлена видоизмененная потенц. ф-ция Юри—Брэдли молекулы NF₃, содержащая силовые постоянные взаимодействия атомов азота и фтора с неподеленной парой электронов азота. После преобразования матриц кинематич. коэф. и силовых постоянных получены ф-лы, выражющие эффективные силовые постоянные через обычные силовые постоянные Юри—Брэдли и постоянные отталкивания неподеленной пары. Эти постоянные

силовые
постоянны.

3 · 1967 · 32

вычислены в одноэлектронном приближении для атомов H, C, N, O, F, при учете эффектов поляризации и экранирования. Эффективные постоянные определены по опытным значениям частот колебаний и затем при различных наборах значений обычных постоянных Юри—Брэдли определяются постоянные отталкивания, которые сравниваются с вычисленными. Из такого сравнения сделаны выводы о распределении электронного заряда в молекуле.

М. Ковнер

NF₃

XIII - 1697 1966

7 Б134. Модель неподеленной пары и колебательные силовые постоянные NF₃. Curtis E. C., Muirhead J. S. The lone-pair model and the vibrational force constants of NF₃. «J. Phys. Chem.», 1966, 70, № 10, 3330—3336 (англ.)

Составлена видоизмененная потенциальная функция Юри-Бредли молекулы NF₃, содержащая силовые постоянные взаимодействия атомов N и F с неподеленной парой электронов азота. После преобразования матриц кинематич. коэф. и силовых постоянных получены ф-лы, выражающие эффективные силовые постоянные через обычные силовые постоянные Юри-Бредли и постоянные отталкивания неподеленной пары. Эти постоянные вы

x. 1967. 7

числены в одноэлектронном приближении для атомов H,
C, N, O, F при учете эффектов поляризации и экраниро-
вания. Эффективные постоянные определены по опыт-
ным значениям частот колебаний и затем при различных
наборах значений обычных постоянных Юри-Бредли
определяются постоянные отталкивания, к-рые сравни-
ваются с вычисленными. Из такого сравнения сделаны
выводы о распределении электронного заряда в моле-
куле.

М. Ковнер

NF₃

XII-7697

1966

The lone-pair model and the vibrational force constants of NF₃. E. C. Curtis and J. S. Muirhead (Rocketdyne Div. of N. American Aviation, Inc., Canoga Park, Calif.). *J. Phys. Chem.* 70(10), 3330-6(1966)(Eng). The repulsion between an atom and a lone pair of electrons, such as may exist on N atoms, is examd. in some detail. The repulsion force consts. are estd. using the 1-electron theory. A new derivation is shown for the method of introducing forces by the lone pair and subtracting lone-pair motions from the vibrational secular equation. The vibrational force consts. for NF₃ are examd. with this model in mind. This model suffices to account for the force consts. of NF₃, while all other models failed to account for the principle non-Urey-Bradley interaction const. Implications of this model using the 1-electron theory argue for fluorines much less neg. charged than previous estimates.

RCKG

C.A. 1966. 68. 12

176.95 d

NF₃

1966

11 Б152. Интервал между *P*- и *R*-ветвями и постоянные кориолисова взаимодействия для молекул типа симметричного волчка: силовые коэффициенты NF₃, PF₃ и AsF₃. Hoskins L. C. P—R separations and Coriolis constants for symmetric-top molecules: force constants for NF₃, PF₃, and AsF₃. «J. Chem. Phys.», 1966, 45, № 12, 4594—4600 (англ.)

Предложена программа для расчета интервала между *P*- и *R*-ветвями неразрешенного контура колебательно-вращательных полос вырожденных колебаний молекул типа симметричного волчка с учетом кориолиса взаимодействия между компонентами вырожденного колебания. Рассмотрено влияние конечной ширины *Q*-ветви на ве-

XIII - 16/5

Х. 1967. //

18

личину $P - R$ -интервала при различных значениях ζ -постоянной и параметра $\beta = (I_B/I_A) - 1$ (I_A, I_B — моменты инерции). Выведена приближенная ф-ла, связывающая $\Delta\nu_{P-R}$ с I_A, I_B и ζ_i . Найдены значения постоянной ζ_4 из опытных значений $\Delta\nu_{P-R}$ полосы ν_4 молекул $\text{NF}_3, \text{PF}_3, \text{AsF}_3$ и NH_3 . Заметное расхождение между вычисленными и опытными значениями ζ_4 для NH_3 обусловлено неприменимостью данного метода к легким молекулам. Найденные здесь значения ζ_4 вместе с частотами вырожденных колебаний использованы для расчета силовых коэф. класса Е молекул NF_3, PF_3 и AsF_3 . М. А.

1966

NF₃

5 Д120. Интервал между P - и R -ветвями и постоянные кориолисового взаимодействия для молекул типа симметричного волчка: силовые коэффициенты для молекул NF₃, PF₃ и AsF₃. Hoskins L. C. $P-R$ separations and Coriolis constants for symmetric-top molecules: force constants for NF₃, PF₃, and AsF₃. «J. Chem. Phys.», 1966, 45, № 12, 4594—4600 (англ.)

силовые
коэффициенты.

Предложена программа для расчета интервала между P - и R -ветвями неразрешенного контура колебательно-вращательных полос вырожденных колебаний молекул типа симметричного волчка с учетом кориолисового взаимодействия между компонентами вырожденного колебания. Рассмотрено влияние конечной ширины Q -ветви на величину $P-R$ -интервала при различных значениях ζ -постоянной и параметра $\beta = (I_B/I_A) - 1$ (I_A , I_B — моменты инерции). Выведена приближенная ф-ла, связывающая $\Delta\nu_{P-R}$ с I_A , I_B и ζ_i . Найдены значения постоянной ζ_4 из опытных значений $\Delta\nu_{P-R}$ полосы v_4 молекул NF₃, PF₃, AsF₃ и NH₃. Заметное расхождение между вы-

9. 1967. 58

числennыми и опытными значениями ζ_4 для NH_3 обусловлено неприменимостью данного метода к легким молекулам. Найденные здесь значения ζ_4 вместе с частотами вырожденных колебаний использованы для расчета силовых коэф. класса E молекул NF_3 , PF_3 и AsF_3 .

М. Алиев.

Magneto \downarrow Li \pm F₄, LiF₄, NF₃, PF₃
cav. no \downarrow $\frac{\pm}{\text{GS}} \text{F}_3$ XIII 1670 1966

Levin I, Abramowitz S,
J. Chem. Phys., 1966, 44,
N⁷, 2562-64

FW PX 1964

10

LL7

1966

M 1815

M.J. Noy, Te
(parum)
(BH_3 , CH_3 , OH_3^+ , NH_3 , OH_3^- ,
 CO_3^- , BF_3 , NO_3^- , CF_3 , NF_3 , BeH_2 , OH_2 , FH_2 ,
 CO_2 , OF_2 u. g.p.)

Pople J.A., Segal G.A.

J.Chem.Phys., 1966, 44, N 9, 3289-3296
Approximate self-consistent molecular
orbital theory. III. CNDO results for
 AB_2 and AB_3 systems

J

PX., 1967, 8537

1967

NF₃

Коеррів G. W., et al.

У. Амер. Спец. Дос., 89,
n 14, 3396.

Барьеры инверсии пирамидальных молекул типа ХУ₃ и родственных плоских молекул, содерж. группу ХУ:

(ал. CH₃-)

V_i (YX_3 , ye $Y =$ P, As, Pb, Sb, Bi 1964
 $X = H, F, Cl, CH_3, C = CH$)

Luit W.M.H., Maas J.H. van der
Spectrochim. acta, 1964, A 23,
N8, 2453-55 XIII 936

ecmso opus

px 1968 40

NF₃

XIII - 1400

1967

) 11 Б220. Микроволновый спектр и постоянные центробежного растяжения молекулы NF₃. Mітті A. M., Cazzoli G. Millimeter wave spectrum and centrifugal distortion constants of NF₃. «J. Chem. Phys.», 1967, 47, № 3 1197—1198 (англ.)

Брачай.
наст.;

Исследован МВ-спектр молекулы NF₃ в миллиметровом диапазоне. Идентифицированы линии переходов 4→5, 9→10, 11→12 и 12→13. Из частот переходов методом наименьших квадратов найдены значения вращательной постоянной B ($10681,078 \pm 0,0052$ Мгц) и постоянных центробежного растяжения D_I ($0,014534 \pm 0,000068$) и D_{IK} ($-0,022694 \pm 0,000096$ Мгц).

М. Р. Алиев

X. 1968-11

NF₃

XIII-1700

1967

D₄ Д350. Спектр в миллиметровой области и константы центробежной дисторсии NF₃. M i g g i A. M., C a z - z o l i G. Millimeter wave spectrum and centrifugal distortion constants of NF₃. «J. Chem. Phys.», 1967, 47, № 3, 1197—1198 (англ.)

Исследован спектр NF₃ в области $(1-3) \cdot 10^5$ Мгц. Приведены наблюдаемые и рассчитанные значения частот для следующих переходов. $J \rightarrow J+1 : 4 \rightarrow 5$, $9 \rightarrow 10$, $11 \rightarrow 12$, $12 \rightarrow 13$. Получены следующие значения констант, центробежного растяжения (в Мгц): $D_J = 0,014533$; $D_{JK} = -0,02269$ и значение вращательной постоянной $B = 10681,078$ Мгц.

Э. В. Б.

09.1988.4

NF₃

XIII-1700

1967

112614t Millimeter wave spectrum and centrifugal distortion constants of NF₃. A. M. Mirri and G. Cazzoli (Univ. Bologna, Italy). *J. Chem. Phys.* 47(3), T197-8(1967)(Eng). The millimeter wave spectrum of NF₃ was recorded at dry-ice temp. From the obtained data, the frequencies of the rotational transitions, from $J = 4 \rightarrow 5$ to $J = 11 \rightarrow 12$, and the centrifugal distortion and rotational consts. were calcd. BG IN

4.7.

C. A. 1967-17-24

XIII-1403

1967

NF₃

5 Д127. Общее силовое поле NF₃, PF₃, AsF₃ с комбинированным использованием колебательных частот центробежного растяжения и постоянных взаимодействия Кориолиса. M i r r i A n n a M. General force field of NF₃, PF₃, and AsF₃ by the combined use of vibrational frequencies, centrifugal stretching, and coriolis coupling constants. «J. Chem. Phys.», 1967, 47, № 8, 2823—2828 (англ.)

Составлена таблица опытных значений частот колебаний постоянных Кориолиса ζ_4 и постоянных центробежного растяжения D_J и D_{JK} в молекулах NF₃, PF₃, AsF₃. На основании расчетов построены графики следующих зависимостей: силовой постоянной F_{12} в NF₃ от ангармоничностей колебаний v_1 и v_2 , постоянной ζ_5 .

сил. постоян.
струхштуба

90. 1968. 580

14

в PF_3 от ангармоничности v_4 , той же постоянной в PF_3 и AsF_3 от валентного угла, постоянных D_J , D_{JK} от силовых постоянных F_{12} , F_{34} во всех 3 молекулах. Сопоставление этих графиков с опытными данными позволило вычислить все силовые постоянные в координатах симметрии и установить, что валентный угол в молекулах PF_3 и AsF_3 равен 98° , а длины связей равны 1,562 и 1,708 Å. При этих значениях геометрич. параметров получается согласие между вычисленными и опытными значениями ζ_4 , D_J , D_{JK} даже при использовании в расчете частот, не исправленных на ангармоничность. Отмечается большая чувствительность силовых постоянных к значениям D_J , D_{JK} .

М. Ковнер

NF₃

XII - 1703

1967

M. N.

6425t General force field of NF₃, PF₃, and AsF₃ by the combined use of vibrational frequencies, centrifugal stretching, and Coriolis coupling constants. Anna M. Mirri (Univ. Bologna, Italy). *J. Chem. Phys.* 47(8), 2823-8(1967)(Eng). Possible sources of the discrepancies between zeta parameters and centrifugal distortion consts. found in the attempt to det. the general force field of NF₃, PF₃, and AsF₃ have been analyzed. Large anharmonicities on the ν₂ bending modes cannot be responsible for the results obtained by other authors; the discrepancies become smaller only by assuming that the ν₄ bending modes are considerably anharmonic. On the other hand, for smaller values of the bond angle in the case of PF₃ and AsF₃ it is possible to obtain consistency between ir and microwave data. For a bond angle of 98° for PF₃, in agreement with recent results of

+ 2

C.A. 1968 · 68 · 2

electron diffraction measurements, it is possible to det. a force field which gives zeta parameters and centrifugal distortion consts. within their exptl. accuracy even by using anharmonic vibrational frequencies. Consistency between ir and microwave data for AsF_3 is obtained for $\angle \text{FAsF} = 99^\circ \pm 1^\circ$. In the case of NF_3 the structure is very accurately known and a force field consistent with all the exptl. data has been detd. even by using anharmonic vibrational frequencies.

RCJQ

1967

Oxa T.

J. Chem. Phys., 1967, 47, 5410

Grunb

17

NF₃(203)

M. 67.

XIII-1784

1967

NF₃

8 Б230. Инфракрасный спектр и молекулярные постоянные трифтторида азота. Popplewell R. J. L., Masi F. N., Thompson H. W. Infra-red spectrum and molecular constants of nitrogen trifluoride. «Spectrochim. acta», 1967, A23, № 11, 2797—2807 (англ.)

Исследован ИК-спектр высокого разрешения газообраза NF₃ в интервале 400—3500 cm^{-1} . Выполнен анализ вращательной структуры ряда основных полос, обертонаов и составных тонов. Найдены следующие значения постоянных колебательно-вращательного взаимодействия ζ_i , α_i^A и α_i^B (в cm^{-1}): $\zeta_3 = 0,81$, $\zeta_4 = -0,90$, $\alpha_1^B = -0,0014$, $\alpha_2^B = 0,0011$, $\alpha_2^A = 0,0006$, $\alpha_3^A = 0,0006$, $\alpha_3^B = 0,0025$, $\alpha_4^A = 0,00045$, $\alpha_4^B = 0,00055$. М. Р. Алиев

ИК-спектр

М. Р.

X 1968 8

WF₃

(H.K. Will)
(H.H.)

XII - 1484

1967

64075q Infrared spectrum and molecular constants of nitrogen trifluoride. R. J. L. Popplewell, F. N. Masri, and H. W. Thompson (Phys. Chem. Lab., Oxford, Engl.). *Spectrochim. Acta, Part A* 23(11), 2797-2807(1967)(Eng). The ir spectrum of NF₃ was measured over the range 400-3500 cm.⁻¹, and the rotational fine structure of a no. of bands was resolved. The nature of this rotational structure is of special interest since few such studies have been made with oblate sym. tops. From the parallel type bands, est. were made of the coeffs. α^B relating different vibrational states, and a detailed study of the perpendicular type bands assocd. with ν_3 and ν_4 has made it possible to derive the Coriolis coeffs. $\xi_3 = +0.81$ and $\xi_4 = -0.90$ and other coeffs. α^A . The new values of ξ_3 and ξ_4 seem more satisfactory than earlier est. based upon studies of unresolved band contours. A no. of other bands due to overtones, combinations, and difference transitions were recorded and assigned. RCSQ

C.A. 1968 68-14

1967

4 Д283. Спектры комбинационного рассеяния азотнофтористых соединений. II. Спектр комбинационного рассеяния газообразного трехфтористого азота. Shatir J., Hymap N. H. Raman spectra of $N-F$ compounds-II. Raman spectrum of gaseous nitrogen trifluoride. «Spectrochim. acta», 1967, A 23, № 6, 1899—1901 (англ.)

Изучен спектр комб. рас. газообразного NF_3 при давлении 8 атм. Обнаружено 4 основных колебания: 500 см^{-1} (E), 649 см^{-1} (A_1), 910 см^{-1} (E) и 1035 см^{-1} (A_1). Из значений поляризации и формы линий выполнено отнесение полос к полносимметричным валентному (1035 см^{-1}) и деформационному (649 см^{-1}) и неполносимметричным валентному (910 см^{-1}) и деформационному (500 см^{-1}) колебаниям. Библ. 5. Ч. I см. РЖФиз, 1967, 11Д352.

С. Ф. Б.

99 · 1968 · 4

NF₃

XIII - 1828

1967

KP - checkd
7.
69213x Raman spectra of N-F compounds. II. Raman spectrum of gaseous nitrogen trifluoride. J. Shamir and H. H. Hyman (Argonne Natl. Lab., Argonne, Ill.). *Spectrochim. Acta, Part A* 23(6), 1899-901(1967)(Eng). cf. CA 67: 38047s. The Raman spectrum of gaseous NF₃ has been studied. All 4 fundamentals have been observed at 500 cm.⁻¹ (E), 649 cm.⁻¹ (A₁), 910 cm.⁻¹ (E), and 1035 cm.⁻¹ (A₁). The vibration species were assigned on the basis of polarization data and line shape.

RCSQ

C.A. 1967. 07. 14

XIII - 1694

1968

NF₃

1221 Б271. Длинноволновый инфракрасный спектр NF₃. Chantry G. W., Gebbie H. A., Popplewell R. J. L., Thompson H. W. The far infrared spectrum of nitrogen trifluoride. «Proc. Roy. Soc.», 1968, A304, № 1476, 45—51 (англ.)

Получен спектр поглощения ($10\text{--}50 \text{ см}^{-1}$) газообразного NF₃. В спектре обнаружены 63 вращательные J -линии с неразрешенной K -структурой. Проведен анализ ожидаемого из конфигурационных соображений распределения интенсивности (J, K)-линий. Рассчитаны общие контуры перекрывающихся K -линий, измерены частотные интервалы между пиками K -контуров и положение K_0 -линий. Полученные данные позволяют определить мол. константы B_0 ($0,3562$) и D_J ($4,5\text{--}10^{-7} \text{ см}^{-1}$), что соответствует результатам анализа МВ-спектров.

Л. В. Коновалов

x · 1968 · 21

NF₃

XIII - 1647

1968

Spanning

82734h The far infrared spectrum of nitrogen trifluoride.
G. W. Chantry, H. A. Gebbie, R. J. L. Popplewell, and H. W. Thompson (Nat. Phys. Lab., Teddington, Engl.). *Proc. Roy. Soc., Ser. A* 304(1476), 45-51(1968)(Eng). The rotational absorption spectrum of NF₃ was measured in the range 10 to 50 cm.⁻¹ Although the K components of the J lines were not resolved, an anal. was made of the expected intensity distribution of (J, K) lines for this oblate sym. top. The spectrum is consistent with that to be expected from mol. consts. derived from a few observed lines in the microwave spectrum.

RCPP

C.A. 1968.

68-18

NF₃ (edit. no. 5) 13 XIII 158 1968.

Curtiss E.C., 5

A.I.S. Clearinghouse Fed. Sci. Tech.

Informat. 1968, ~~no~~ 666456, 21 pp.

bent-bead model for the vibrational force constants of nonplanar XY₃ molecules

CD, 1968, 63, w16, 616414

AST₃, №₃; NSF (носк. учн. пробежжко)
рассеянности) 1969
13

Milov, A. I. + XIII 416

Corsi, Pemini. Chim. 1968, № 14, 75-6.

Vibrational-rotational interactions
in the microwave rotational spectra
of triatomic and tetraatomic mole-
cules and determinations in the
generalized E. force field.

10



Ф. К.

CAT 1969, 81, 116, 7596012

1968

NF₃

111858e Microwave spectra of nitrogen trifluoride in the excited vibrational states. Equilibrium structure. Otake, Masayuki; Matsumura, Chi; Morino, Yonezo (Univ. Tokyo, Tokyo, Japan). *J. Mol. Spectrosc.* 1968, 28(3), 316-24 (Eng). The microwave spectra of 2 isotopic species of the NF₃ mol. were investigated in the excited vibrational states. The vibration-rotation interaction constants α_v^B for the v_1 , v_2 , v_3 , and v_4 states were -43.45, +38.65, +78.81, and +4.48 MHz. for ¹⁴NF₃ and -38.41, +40.14, +75.67, and +4.64 MHz. for ¹⁵NF₃, resp. The equil. rotational const., B_e , was then derived to be 10761.9 \pm 0.2 MHz. for ¹⁴NF₃ and 10710.6 \pm 0.2 MHz. for ¹⁵NF₃, from which the equil. structure was detd. to be $r_e(\text{N-F}) = 1.365 \pm 0.002$ A. and $\alpha_e(<\text{FNF}) = 102^\circ 22' \pm 2'$. A set of linear relations was derived between cubic potential consts. from the observed α_v^B and *l*-type doubling consts. RCKP

m = 6.

7 N-F
LFNF

Céñþýkñýþa

C. A. 1968.

69-26

NF₃

XIII - 482

1968

4 Д358. Микроволновые спектры трехфтористого азота в возбужденных колебательных состояниях. Дублетное расщепление и резонанс *l*-типа в ν₃- и ν₄-состояниях. Otake Masayuki, Hirota Eizi, Mogiyo Yonezo. Microwave spectra of nitrogen trifluoride in the excited vibrational states. *l*-type doubling and resonance in the ν₃ and ν₄ states. «J. Molec. Spectrosc.», 1968, 28, № 3, 325—340 (англ.)

Измерены микроволны спектры для переходов $J=2 \leftarrow 1$ и $J=3 \leftarrow 2$ двух изотопич. образцов молекул NF₃ в возбужденных колебательных состояниях. Анализ сателлитов ν₄ и ν₂+ν₄ показал наличие резонанса *l*-типа с расщеплением центральных линий более чем 80 Мгц. Определены значения силовых постоянных.

м. в.

спектр

спектр. час.

02.1969.

49

NF₃

XIII - 982

1968

Mr. B.

Cecil. Noet.

N1857d) Microwave spectra of nitrogen trifluoride in the excited vibrational states. 1-Type doubling and resonance in the ν_3 and ν_4 states. Otake, Masayuki; Hirota, Eizi; Morino, Yonezo (Univ. Tokyo, Tokyo, Japan). *J. Mol. Spectrosc.* 1968, 28(3), 325-40 (Eng). The microwave spectra for the $J = 2 \leftarrow 1$ and $J = 3 \leftarrow 2$ transitions were measured and analyzed for 2 isotopic species of NF₃ in the excited vibrational states. The $\nu_4 + \nu_2 + \nu_4$ satellites showed spectral patterns characteristic of the *l*-type resonance, with the splitting of the center lines amounting to more than 80 MHz. The theory of Maes and Amat was applied by introducing explicitly the symmetry property of the energy levels. The ξ_4 was -0.895 for ¹⁴NF₃ and -0.888 for ¹⁵NF₃, resp. The ν_3 satellites also showed the pattern of the *l*-type resonance, but slight discrepancies found

C.A. 1968. 69. 26

between the calcd. and the observed spectra cannot be accounted for unless the 3rd-order terms are taken into consideration. The quadratic potential consts. were detd. from the observed values of ξ_4 and the isotope shifts of the vibrational frequencies, $\Delta\nu_1$ and $\Delta\nu_3$: $F_{11} = 6.14 \pm 0.15$ millidynes (md.)/A.; $F_{12} = 0.84 \pm 0.04$ md., $F_{22} = 2.41 \pm 0.05$ md./A., $F_{33} = 3.39 \pm 0.05$ md./A., $F_{34} = -0.45 \pm 0.03$ md., and $F_{44} = 1.67 \pm 0.02$ md. A., resp.

RCKP

4 Д351. Микроволновые спектры трёхфтористого азота в возбужденных колебательных состояниях. Равновесная структура. Otake Masayuki, Matsuura Chi, Morino Yonezo. Microwave spectra of nitrogen trifluoride in the excited vibrational states. Equilibrium structure. «J. Molec. Spectrosc.», 1968, 28, № 3, 316—324 (англ.)

1968

N¹⁴F₃

и. в.
спектр,
и. н.,
структура

Исследованы микроволны спектры молекул N¹⁴F₃ (I) и N¹⁵F₃ (II) в возбужденном колебательном состоянии. Найдены постоянные колебательно-вращательного взаимодействия, равные —43,45; +38,65; +78,81 и +4,48 Мгц (для I) и —38,41; +40,14; +75,67 и 4,64 Мгц (для II) соответственно для ν₁, ν₂, ν₃ и ν₄-состояний. С помощью определения постоянной B_e установлена равновесная структура $r_e(N-F) = 1,365 \pm 0,002 \text{ \AA}$ и $\alpha_e(\langle FNF \rangle) = 102^\circ 22' \pm 2'$. Найдено, что дублетное расщепление относится к *l*-типу.

оф. 1969

49

NF₃ (new. recd.)

XIII 523
1968

Pulay P., Jaworsky W.,
J. Molec. Spectrosc., 1968,
26, N^o 1, 150-152

20

pp 1968

$\sqrt{F_3}$

(C.I. 1428)
(V_i)

(S, O)

XIII - 914

1968

54445s) Force field and molecular constants of nitrogen trifluoride. Sawodny, W.; Ruoff, A.; Peacock, C. J.; Mueller, A. (Univ. Stuttgart, Stuttgart, Ger.). *Mol. Phys.* 1968, 14(5), 433-40 (Eng). General valence force field consts. for NF₃ were calcd. by using accurate frequency data, Coriolis coupling consts. (5), and centrifugal distortion consts. The calcd. constants agree with expt. Mean amplitudes of vibration were calcd. by different methods and thermodynamic functions are given from 200 to 2000°K. Earlier investigations of these mol. consts. are incorrect. 30 references. RCFS

+ Ju

CIA 1968.69.14

1 Б78. Силовое поле и молекулярные постоянные
 NF_3 . Sawodny W., Ruoff A., Peacock C. J., Mulfitt A. The force field and molecular constants of NF_3 . «Molec. Phys.», 1968, 14, № 5, 433—440 (англ.)

NF_3

и. п.;
сил. пост.
термод.
+ - чин

При помощи литературных данных по частотам основных колебаний ω_l , постоянным кориолисова взаимодействия ξ_l для вырожденных колебаний и центробежным постоянным D_I и D_{IK} вычислены силовые коэф. наиболее общего силового поля NF_3 . Недиагональные силовые коэф F_{12} и F_{34} определены из кривых зависимостей F_{11} , F_{22} , $D_I^{(A_1)} D_{IK}^{(A_1)}$ от F_{12} и F_{33} , F_{44} , $D_I^{(E)}$, $D_{IK}^{(E)}$, ξ_3 , ξ_4 от F_{34} . Найдены интервалы значений F_{12} и F_{34} , воспроизводящие опытные данные по ω_l , ξ_l , D_I и D_{IK} . Вычислены также распределение потенциальной энергии по внутренним колебательным координатам, средне-квадратич. амплитуды колебаний и термодинамич. функции (при т-рах 200—2000° К).

М. Р. Алиев

+1

X · 1969

1

☒

измерение неизвестное

$$V_1 = 1031,91, V_2 = 647,26, V_3 = 908,4, V_4 = 492,62 \quad (\pm 1 \text{ cm}^{-1})$$

$$\xi_3 = 0,81, \xi_4 = -0,90 \quad (\text{бес} \pm 0,02) \quad (\text{дл. Р.М.Г., 1967})$$

$$D_y = 14,534 \pm 0,068 \quad (\text{дл.} \pm 0,02) \quad D_{y2} = -22,694 \pm 0,096 \quad (\text{дл.} \pm 0,02) \quad (\text{Borch.}, \\ \text{Miekk., 1967}) \quad r_{WF} = 1,371 \quad \angle WF_2 = 102,1^\circ \quad (\text{Shantz})$$

$$F_{11} = 6,13, F_{12} = 0,63, F_{22} = 1,29, F_{33} = 3,40, F_{34} = -0,33, F_{44} = 0,90$$

$$f_2 = 4,31, f_{22} = 0,91, f_{12} = 0,32, f_{3d} = -0,01, f_d = 1,03, f_{d2} = 0,13$$

$$(\text{бес} \text{ нср } 2 \text{ мол/м}^3/\text{А}^3, s_0 = r_{WF})$$

N.B. Измерение неизвестное
измерение, для данной модели MB = unk,
и есть вспомогательные коэффициенты,

NF₃

4 Д407. ИК-спектры и силовое поле ¹⁵NF₃. Allan A.,
Duncan J. L., Holloway J. H., McKean D. C.
The infrared spectrum of ¹⁵NF₃ and force field. «J. Molec.
Spectrosc.», 1969, 31, № 3, 368—377 (англ.)

1969

Получен ИК-спектр специально синтезированного об-
разца ¹⁵NF₃. Произведен вращательный анализ полос
колебаний ν₁, ν₂, ν₃, ν₄. Определены колебательные и
вращательные постоянные (в см⁻¹): ν₁=1008,93, ν₂=
=644,84, ν₃=886,34, ν₄=492,02; B''=0,3541, B'=0,3554,
 $\alpha_1^B=-0,00128$, $\alpha_3^B=+0,0027$, $\alpha_3^C=+0,0007$, $\zeta_3=+0,77$.
Обнаружен резонанс Ферми между уровнями ν₁ и 2 ν₄.
Произведен расчет силовых постоянных молекулы NF₃.
При этом из решения векового ур-ния для ν₃ и ν₄ (сим-
метрия E) получено два различных набора силовых по-
стоянных F₃₃, F₃₄, F₄₄. Имеющиеся эксперим. данные не
позволяют сделать выбор между двумя наборами. При

сил. и.

09. 1970. 49

расчете силовых постоянных F_{11} , F_{12} , F_{22} (симметрия A_1)
были определены также постоянные центробежного ис-
кажения D_j и D_{jk} . Результаты расчета силового поля
сравниваются с данными других авторов. Библ. 9.

Л. Щерба

N¹⁵F₃

XIII-8

1969

10 Б261. Инфракрасный спектр N¹⁵F₃ и силовое поле.
Allan A., Duncan J. L., Holloway J. H., Mc Ke-
an D. C. The infrared spectrum of ¹⁵NF₃ and force field.
«J. Molec. Spectrosc.», 1969, 31, № 3, 368—377 (англ.)

Исследован ИК-спектр поглощения газообразного N¹⁵F₃ в области 490—1010 см⁻¹. Проведен вращательно-колебательный анализ и определены молек. постоянные: из $\nu_1 = 1008,93 \pm 0,04$ см⁻¹ найдены $B' = 0,3541 \pm 0,0004$, $B'' = 0,3554 \pm 0,0004$, $\alpha_1^B = 0,00128 \pm 0,00002$ см⁻¹; $2\nu_4^0 = 981,9$ см⁻¹ (изотопич. сдвиг Q-ветви по отношению к Q-ветви N¹⁴F₃ $\Delta\nu_{44}^0 = 2,1 \pm 0,2$ см⁻¹); $\nu_2 = 644,84$ см⁻¹ (изотопич. сдвиг a-ветви $\Delta\nu_2 = 2,32 \pm 0,05$ см⁻¹): из $\nu_3 = 886,34 \pm 0,30$ см⁻¹ определены $\alpha_3^B = +0,0027 \pm 0,0003$, $\alpha_3^C = +0,0007 \pm 0,001$ см⁻¹ и $\varsigma_3 = +0,77 \pm 0,03$; $\nu_4 = 492,02$ см⁻¹ (изотопич. сдвиг a-ветви $\Delta\nu_4 = 0,60 \pm 0,03$ см⁻¹). Изотопич. сдвиг $\Delta\nu_4$ вместе со значениями

ИК-спектр

X. 1970. 10

постоянных кориолисова взаимодействия ς_3 и ς_4 для молекул $N^{14}F_3$ и $N^{15}F_3$ определяют два различных набора силовых коэф. класса E : (1-й набор) $F_{33}=3,364 \pm 0,08$, $F_{34}=-0,316 \pm 0,03$, $F_{44}=0,901 \pm 0,03$ мдн/ A и (2-й набор) $F_{33}=1,918 \pm 0,03$, $F_{34}=-0,129 \pm 0,03$, $F_{44}=1,536 \pm 0,03$ мдн/ A . Оба эти набора физически неразличимы, т. к. они одинаково хорошо воспроизводят частоты кол. класса E , все возможные ς — постоянные и вклады в постоянные центробежного растяжения. Для класса A_1 удалось выбрать один набор силовых коэф. $F_{11}=5,765 \pm 0,12$, $F_{12}=+0,570 \pm 0,07$, $F_{22}=1,368 \pm 0,05$ мдн/ A , хорошо воспроизводящий частоты кол. класса A_1 и постоянные центробежного растяжения молекулы $N^{14}F_3$ $D_J=14,85$ и $D_{JK}=-23,1$ кгц. Между частотами v_1 и $2v_4$ ° молекулы $N^{15}F_3$ предположено существование Ферми—резонанса, характеризуемого параметром взаимодействия $W_{144}=7,0$ см $^{-1}$.

А. Александров

XIII - 101

1969

NF

14 Б77. Среднеквадратичные амплитуды колебаний для некоторых пирамидальных молекул XY_3 . Суvin S. J., Суvin B. N., Müller A. Mean amplitudes of vibration for some pyramidal XY_3 molecules. «J. Molec. Struct.», 1969, 4, № 5—6, 341—349 (англ.)

С использованием лит. силовых коэф. для молекул NF_3 (I), PF_3 (II), AsF_3 (III) и PCl_3 (IV) вычислены частоты нормальных колебаний, постоянные кориолисова взаимодействия $\zeta_{14a}v$, $\zeta_{24a}v$ и $\zeta^2[E(a) \times E(b)]$, постоянные центробежного растяжения $D_J D_{JK}$ и D_K и среднеквадратич. амплитуды колебаний молекул при T -рах 0° и $298^\circ K$ для I—III и 0° — $500^\circ K$ для IV. В приближении $L_{12}=0$ (h —матрица собственных векторов ур-ния колебаний) для двухмерных блоков A_1 и E вычислены среднеквадратич. амплитуды колебаний (0° и $298^\circ K$) молекул I—IV, PBr_3 , PJ_3 , $AsCl_3$, $AsBr_3$, AsJ_3 (V), $SbCl_3$, $SbBr_3$, SbJ_3 (VI), $BiBr_3$, BiJ_3 , XeO_3 . А. Александров

+14

Х. 1970. 74



NF₃

XIII - 169

1969

60986x Mean amplitudes of vibration for some pyramidal XY₃ molecules. Cyvin, Sven J.; Cyvin, Bjoerg N.; Mueller, Achim (Inst. Theor. Chem., Tech. Univ. Norway, Trondheim, Norway). *J. Mol. Struct.* 1969, 4(5-6), 341-9 (Eng). Mean amplitudes of vibration calculated from spectroscopic data are reported for 16 pyramidal XY₃ mols. For all mols. the L-matrix approxn. method was used. In addn., more accurate calcns. were performed for some of the mols., viz. NF₃, PF₃, PCl₃ and AsF₃, for which exptl. Coriolis consts. or centrifugal distortion consts. are available. The accurate calcns. confirmed the validity of the L-matrix approxn. method.

RCBF

Progress

Accurate

Received

+14

C.A. 1970.

72.12

18

1969

ХІІІ-144

7 Б101. Масс-спектрометрическое изучение photoионизации. XIV. NF_3 и ONF_3 . Dibeler Vernon H., Walker James A. Mass spectrometric study of photoionization XIV. Nitrogen trifluoride and trifluoramine oxide. «Inorgan. Chem.», 1969, 8, № 8, 1728—1733 (англ.)

С помощью масс-спектрометра, снабженного вакуумным монохроматором, изучена photoионизация NF_3 и ONF_3 . В масс-спектре photoионизации NF_3 обнаружены ионы NF_3^+ , NF_2^+ и NF^+ . Отсутствие ионов N^+ и F^+ указывает на их высокий потенциал появления ($>21,22$ эв). Получены кривые выхода всех ионов спектра. В диапазоне 880—700 А выход NF_3^+ постоянен (автоионизация отсутствует). Измеренный потенциал ионизации NF_3 равен $13,00 \pm 0,02$ эв, теплота образования иона ΔH° (1) = $269,4 \pm 0,5$ ккал/моль. Пороговое

+8

Х. 1970

7



значение потенциала появления иона (ППП) для NF_2^+ равно $14,12 \pm 0,1$ эв, $\Delta H^\circ(\text{NF}_2^+) = 279,7$ ккал/моль, энергия диссоциации связи $D_0(\text{NF}_2-\text{F}) = 2,39 \pm 0,09$ эв ($55,1 \pm 2$ ккал/моль), $D_0(\text{NF}-\text{F}) = 3,45 \pm 0,2$ эв ($79,5 \pm 5$ ккал/моль). Для иона NF^+ ППП равен $17,9 \pm 0,3$ эв, $\Delta H^\circ = 343,1 \pm 0,7$ ккал/моль, $D_0(\text{NF}) = 2,37 \pm 0,2$ эв ($54,6 \pm 5$ ккал/моль). В масс-спектре ONF молек. ион имеет очень малую интенсивность, основные ионы — ONF_2^+ и NO^+ . Из кривых выхода для всех трех ионов определены ППП, равные $13,26 \pm 0,1$, $13,59 \pm 0,01$ и $15,21 \pm 0,02$ эв для ONF_3^+ , ONF_2^+ и NO^+ соответственно. $\Delta H^\circ(\text{ONF}_3) = 10,24$ эв (236,1 ккал/моль), $\Delta H^\circ(\text{ONF}_2) = 9,90$ эв (228,3 ккал/моль), $D_0(0-\text{NF}_3) = 4,26$ эв (98 ккал/моль) и $D_0 = (\text{ONF}_2-\text{F}) = 1,9$ эв (44 ккал/моль). Повышенная прочность связи N—O в ONF_3 (по сравнению со связью N—F) наблюдается как при фотоионизации, так и при ионизации электронным ударом. Пред. сообщ. см. РЖХим, 1969, 19Б89.

М. Туркина

Catal. no. C. (NH_3 , PH_3 , AsH_3 , SbH_3 , ND_3 , 1969
 PD_3 , AsD_3 , SbD_3 , NHF_2 , NDF_2 , NF_3 , PF_3 ,
 AsF_3 , SbF_3 , NCl_3 , PCl_3 , $AsCl_3$, $SbCl_3$, NBr_3 ,
 PBr_3 , $AsBr_3$, $SbBr_3$, ND_3 , PD_3 , AsF_3 , SbF_3)

King Shin-Tung, Overend J.,
J. Phys. Chem., 1969, 73, N2,
406-12

NF₃

1969

hojiko M. S.,
Beers I.

fp. noct.

Y. Res. Nat. Beer.

Stand., A73, 12, 233



(c.c. H₂O)'''

NF₃

1969

KB.111EX

packet

403178W Molecular orbital study of NF₃, PF₃ and NF₂.
Olmstead, Marilyn M. (Univ. Wisconsin, Madison, Wis.). 1969,
120 pp. (Eng). Avail. Univ. Microfilms, Ann Arbor, Mich.,

Order No. 40-3651. From Diss
Abstr. Int. B, 1970, 31, 2, 542

SNDc

C.d. 1981 \$4.90

1969

XII - 1402

NF₃

75864j Harmonic frequencies, potential function, Coriolis coupling constants, centrifugal stretching constants, and root-mean-square amplitudes for a nitrogen trifluoride molecule. Ponomarev, Yu. I.; Khovrin, G. V. (USSR). *Opt. Spektrosk.* 1969, 26(6), 1062-5 (Russ). The title parameters were calcd. for NF₃. The values obtained are compared with literature data and discussed.

Wladyslaw S. Brud

J_i

cur. noční.

D_j; D_k

C.A. 1969. H. 16

XII - 1402 1969

NF

3

1 Б70. Гармонические частоты, потенциальная функция, постоянные кориолисова взаимодействия и центробежного растяжения, среднеквадратичные амплитуды молекулы трехфтористого азота. Пономарев Ю. И., Ховрин Г. В. «Оптика и спектроскопия», 1969, 26, № 6, 1062—1065.

Для молекулы NF_3 вычислены гармонич. частоты $v_1 = 1052,5$ и $v_2 = 663,9 \text{ см}^{-1}$ (класс A) и $v_3 = 928,6$, $v_4 = 498,3 \text{ см}^{-1}$ (класс E), силовые коэф. $F_{11} = 5,72$ и $F_{33} = 3,52 \text{ мдин/}\text{\AA}$, $F_{12} = 0,81$ и $F_{34} = -0,43 \text{ мдин}$, $F_{22} = 2,82$ и $F_{44} = 1,74 \text{ мдин. А, постоянные ангармоничности}$.

исследование.
ангармонич-
нитечности,

кост. четырехъ. рассл.

X. 1980. 1

ничности $X_{11} = -2,8$, $X_{12} = -3,5$, $X_{13} = -9,9$,
 $X_{1,4} = -2,3$, $X_{2,2} = -2,5$, $X_{2,3} = -6,5$, $X_{2,4} = -2,4$,
 $X_{3,3} = -3,5$, $X_{3,4} = -1,5$, $X_{4,4} = -0,6$ (все в см^{-1}),
постоянные центробежного расстояния $D_J = 14,53$,
 $D_{JK} = -22,41$, $D_K = 9,81$ ($\text{кг}\cdot\text{с}$), постоянные кориолисова
взаимодействия $S_3^2 = 0,81$, $S_4^2 = -0,90$, $S_{34}^2 = -0,43$,
 $S_{13}^x = -0,827$, $S_{14}^x = -0,194$, $S_{23}^x = 0,470$, $S_{24}^x = 0,110$;
 $S_{3a,4b}^x = -0,207$. Вычислены также среднеквадратич.
амплитуды для 0 и 298° .

А. Александров.

NF₃

XIII - 1402

1969

12 Д164. Гармонические частоты, потенциальная функция, постоянные кориолисова взаимодействия и центробежного растяжения, среднеквадратичные амплитуды молекулы трехфтористого азота. Пономарев Ю. И., Хюврин Г. В. «Оптика и спектроскопия», 1969, 26, № 6, 1062—1065

Из литературных данных о гармонич. частотах постоянных кориолисова взаимодействия ζ_3 , ζ_4 и центробежного растяжения D_J вычислены силовые коэф. молекулы NF₃. Вычислены также формы колебаний, а из них постоянные ζ_{34}^2 , D_{JK} , D_K и среднеквадратичные амплитуды колебаний.

М. Р. Алиев



09. 1969. 12D

NF₃

XII - 1568

1969

2 Б43. Анализ колебаний молекул NF_3 и NCl_3 методом функций Грина. Ramaswamy K., Mohan N. Green's function analysis of NF_3 and NCl_3 . «Indian J. Phys.», 1969, 43, № 11, 693—699 (англ.)

D_i
и.к.
6601-12.

Методом функций Грина выведены изотопич. соотношения для частот изотопич. разновидностей молекул типа XY_3 (C_{3v}). Из частот и структурных параметров вычислены силовые постоянные, средние амплитуды колебаний, постоянные кориолисова взаимодействия для вырожденных колебаний и постоянные центробежного искажения молекул NF_3 и NCl_3 . Вычисленные значения центробежных и кориолисовых постоянных согласуются с имеющимися эксперим. данными.

М. Р. Алиев

+1

X. 197d.d

NH₃ Valdemoro C. 1969
pacrem at all
An. fis. real soc. esp.
fis. y quim. 1969, 65,
nº 2, 181-7



1970

NF₃

[103854t] Photoelectron spectra of nitrogen trifluoride and nitrogen oxide trifluoride, and a reassignment of the spectra of tetrafluorides of Group IV. Bassett, P. J.; Lloyd, D. R. (Chem. Dep., Univ. Birmingham, Birmingham, Engl.). *Chem. Phys. Lett.* 1970, 6(3), 166-8 (Eng). The He resonance photo-electron spectra of NF₃ and ONF₂ are presented, assigned, and correlated with BF₃ and CF₄ spectra. The NF₃-ONF₃ correlation is discussed in terms of a donor N-O bond in ONF₃, and from the ONF₃-CF₄ correlation it is proposed that the highest occupied orbital in CF₄ is 1*t*₁. Correlations with MO calcs. are discussed.

William Braker

(H)

X

C.A. 1970.83.20

1880

NF₃

12 Д265. Фотоэлектронные спектры NF₃, ONF₃ и повторное отнесение спектров фторидов IV группы.

Bassett P. J., Lloyd D. R. The photoelectron spectra of nitrogen trifluoride and nitrogen oxide trifluoride, and a reassignment of the spectra of tetrafluorides of group IV. «Chem. Phys. Lett.», 1970, 6, № 3, 166—168 (англ.)

С помощью резонансного излучения HeI получены фотоэлектронные спектры NF₃ и ONF₃ при разрешении $\approx 0,01$ эв и вычислены значения потенциалов ионизации. Обсуждается сравнение структуры NF₃ и ONF₃ с точки зрения N—O донорной связи в ONF₃. Из сопоставления ONF₃ и CF₄ сделан вывод, что наивысшей заселенной орбиталью в CF₄ является 1 t_1 . Обсуждаются поправки, полученные при расчетах по методу МО.

Б. Александров

(+) 1

09. 1880.

120

18

NF₃

1970

1 Б163. Фотоэлектронные спектры трехфтористого азота и оксида трехфтористого азота и переотнесение полос спектров тетрафторидов IV группы. Bassett P. J., Lloyd D. R. The photoelectron spectra of nitrogen trifluoride and nitrogen oxide trifluoride, and a reassignment of the spectra of tetrafluorides of group IV. «Chem. Phys. Lett.», 1970, 6, № 3, 166—168 (англ.)

Получены He (I) резонансные фотоэлектронные спектры NF₃ и ONF₃, проведено отнесение полос по орбитам и сопоставление со спектрами BF₃ и CF₄. Сопоставление спектров NF₃ и ONF₃ обсуждено с точки зрения донорного характера связи N—O в ONF₃. Из сравнения спектров ONF₃ и CF₄ предполагается, что 1t₁ — наивысшая заселенная орбиталь в CF₄. Результаты измерений сопоставляются с данными MO-расчетов.
О. Г. Гаркуша

X. 1971. 1



NF3

Freeman D.E.

1970

go-wie
notices.
записи

Z. Naturforsch.,

A 1970, 25, 2, 214.

(See Ch.) III

NF
3

Kahn O. et al. 1970

C. R. Acad. sci., C271
(4), 231.

зарис.
строение

$[\text{cщ. } N(\text{CH}_3)_3]_{\text{III}}$

NF₃

Kahn O.

1870

Bull. Soc. chim. France
N12, 4193.

nacreous

[$\text{C}_6\text{H}_5\cdot\text{B}(\text{CH}_3)_3$] III

1970

NF
3

15 Б226. Интенсивности инфракрасных полос и силовое поле молекулы NF_3 . Levin Ira W. Infrared intensities and force field for NF_3 . «J. Chem. Phys.», 1970, 52, № 5, 2783—2784 (англ.)

Из эксперим. данных по абс. интенсивности ИК-полос вырожденных колебаний и из двух решений для силового поля (F) класса E вычислены производные дипольного момента по координатам симметрии ($\partial P/\partial S_i$) типа E молекулы NF_3 . Отмечена высокая чувствительность параметров $\partial P/\partial S_i$ к коэф. F_{34} . С целью однозначного выбора между двумя решениями выполнен расчет $\partial P/\partial S_i$ методом ССП МО в приближениях полного и частичного пренебрежения диф. перекрыванием. Результаты обоих расчетов приводят к выводу, что действительности соответствует только набор с $F_{34} = -0,316 \text{ мдн/А}$.

М. Р. Алиев

1970.

15

NF₃

1970

C 94803a Infrared intensities and force field for NF₃. Levin,
Ira W. (Nat. Inst. of Arthritis and Metab. Dis., Nat. Inst. of
Health, Bethesda, Md.). *J. Chem. Phys.* 1970, 52(5), 2783-4
(Eng). A. Allan, *et al.* (1969) detd. 2 sep. indistinguishable
force fields ($F_{24} = -0.316$ and -0.129 millidyne/Å) that
precisely predict the Coriolis zeta consts. for the ¹⁴N and ¹⁵N
species, the centrifugal distortion parameters, and the isotopic
frequency shift ($\Delta\nu_4$) for the E symmetry species of NF₃. To
resolve this problem, sets of dipole-moment derivs. corresponding
to the 2 force field solns. were calcd. from exptl. abs. ir intensity
data (P. N. Schatz and I. W. Levin, 1958). SCF complete and
incomplete neglect of differential overlap (CNDO/2 and INDO)
MO approxns. were then applied to choosing a preferred set of
charge distribution parameters that define the mol. force field:
the set of force consts. with $F_{24} = -0.316$ millidyne/Å. The
normal coordinates for this force field soln. indicate that the E
species ν_3 and ν_4 vibrations are predominantly stretching (94%)
and bending (80%) coordinates, resp.

FBJN

C.A.

1970.72.18

NF₃

1970

• Д196. Интенсивности ИК-спектров и силовое поле молекулы NF₃. Levin Ira W. Infrared intensities and force field for NF₃. «J. Chem. Phys.», 1970, 52, № 5, 2783—2784 (англ.)

Из интенсивностей ИК-полос поглощения вычислены два набора производных дипольного момента по координатам симметрии. Сравнение полученных величин с данными расчетов по распределению электронного заряда в молекуле NF₃ позволило отдать предпочтение одному из наборов силовых постоянных. М. В. Тонков

Chub. K.

Ф. 1970. 9R

1920

J (AlCl₃, PCl₃, PF₃, NF₃, AlB₃,
CrB₃, CoB₃)

Lloyd D.R., 7 6 15 13
VII 5775

Int. J. mass spectrom. and Ion Phys.,
1920, 4, 46, 500-503 (ann.).

The failure of electron impact measurements to detect first ionization potentials in some
J. Phys., 1971, 42 236

○ 10 18 ○ ϕ

measured by [unclear]

NF₃

Pullen B.P.

1920

U.S. At. Energy Comm.,
TIA - 25381, 117 pp.
photos.
script

(Ass. CO) III



III

Al_2Br_6 (VI); HF; BF_3 ; CF_4 ; $\underline{\text{NF}_3}$; NaF ; $\text{BF}_3 \cdot \text{OEt}_2$
 C_2F_4 ; CF_3 ; CF_3H ; CF_3Br ; CF_3Cl ; CF_3I ,
 CF_3CF_3 ; (HF) X 7655

Prophet H., Syverud et. N.,
U. S. Nat. Tech. Inform. Serv.; AD Rep.,
1970, N867956, 76 pp (assu.)

(P)

10 M

C972

NOF_3 , NF_3 , NF_2Cl , NFCl_2 , NF_2D , NCl_3 (a.u.1.100.)
19%
100% (a.u.1.100.)

Ramaswamy K.¹³, Mlokan N., XIII 533
Z. Naturforsch.; 1970, B25, №2, 169-73
(a.u.)

Normal coordinate analysis of
some nitrogen - halogen compound

10

①

5
CAT. NO. 157072, NF18, 94893e

10 Д175. Колебательная ангармоничность в пирамидальных трифторидах. Reichman Sandor, Smith D. Foss, Jr, Overend John. Vibrational anharmonicity in the pyramidal trifluorides. «Spectrochim. acta», 1970, A26, № 4, 927—935 (англ.)

NF

3

Расчеты постоянных ангармоничности молекул NF_3 , PF_3 , AsF_3 выполнены в трех приближениях. В 1-м приближении применена квадратичная потенц. ф-ция, но введены криволинейные колебательные координаты. Во 2-м приближении учитывается ангармоничность валентных колебаний с помощью ф-ций Морзе. Постоянные ангармоничности вычислены по известным энергиям диссоциации и квадратичным силовым постоянным. В 3-м приближении учитывается ангармоничность деформационных колебаний с помощью двухпараметрической потенциальной ф-ции с двумя симметричными минимумами. Ангармонич. силовые постоянные K_{aaa} , $K_{aa'a}$, $K_{aa'a'}$ вычислены по равновесным геометрич. параметрам и квадратичным силовым постоянным. Получены

расчеты
постоянных
ангарм.

1970

оп. 1970

109

удовлетворительные совпадения вычисленных и некоторых известных значений постоянных X_{ij} ($i, j = 1, 2, 3, 4$) и g_{33}, g_{34}, g_{44} . Вычислены разности между нормальными и фундаментальными частотами колебаний. Вычислены также постоянные α_s, β_s ($s = 1, 2, 3, 4$) колебательно-вращательного взаимодействия. Главный вклад в значение β_1 вносит член 1-го приближения вида — $8B^2 (\Phi_{13}^x)^2 \omega_1 / (\omega_1^2 - \omega_3^2)$. Отрицательный знак β_1 обусловлен тем, что в данном случае $\omega_1 > \omega_3$. Опытное значение β_1 для NF_3 равно $-14,49 \cdot 10^{-4} \text{ см}^{-1}$. М. А. Ковнер

KCl_3 , SCl_3 , NF_3 (γ_1 , no g. attrap. u.) 1970

Ruoff A., 14 13 XIII 120

Mol. Phys., 1970, 19(1), 23-31

Calculation of anharmonicity constant
for some symmetric top molecules
from band contours with hot bands.

HO Y \oplus



EC 1970, 12, 60747a
CATHERINE J. D. 12, 60747a

NF
3

1970

У 6 Б395. Знаки постоянных l -удвоения NF_3 . Sto-
ne J. M. R., Mills I. M. Signs of l -doubling constants
in NF_3 . «J. Mol. Spectrosc.», 1970, 35, № 3, 354—358
(англ.)

Из значений постоянных l -удвоения вырожденных ко-
лебаний молекулы NF_3 ($q_3 = \pm 0,00405$, $q_4 = \pm 0,00171 \text{ см}^{-1}$)
найденных из МБ-спектра в возбужденных колебатель-
ных состояниях $v_3=1$ и $v_4=1$, с учетом колебательно-
вращательного взаимодействия и центробежного иска-
жения вычислены вращательные контуры ИК-полос v_3 и
 v_4 NF_3 . Путем сравнения теоретич. контуров с наблюда-
емыми контурами определены знаки q : $q_3 = -0,00405$ и
 $q_4 = +0,00171 \text{ см}^{-1}$.

М. Р. Алиев

X. 1981

6

NF₃

1970

(71610S) Signs of l-doubling constants in nitrogen trifluoride.
Stone, J. M. R.; Mills, Ian M. (Dep. Chem., Univ. Reading,
Reading, Engl.). *J. Mol. Spectrosc.* 1970, 35(3), 354-8 (Eng).
Computed ir band contours are presented for the 2 degenerate
fundamentals of the NF₃ mol. by using the *l*-resonance band
contour program described by Cartwright and Mills, with values
of the vibration-rotation consts. detd. from the microwave
spectrum by Morino and coworkers. Computed contours are
presented for both possible signs of the *l*-doubling const.; com-
parison with the obsd. band contours leads to the conclusion that
 $q_3 = -121.4$ and $q_4 = +51.4$ MHz.

RCKP

C.A. 1970 73 11

O_3 , F_2O , Cl_2O , BF_3 , (cav. noem.) 1970
 NF_3 , PCl_3 , CF_4 XI 518

Thakore S.N., Rai S.N., 11, 13 14
Y. Mol. Street, 1970, 5, № 4, 3202 (ans)

Force constants of molecules with
strongly coupled vibrations.

1970: 234

CA, 1970, 43, N2, 8864n

Fe(CO)₅ (we, ane. no cm.) 136 1970
NF₃ (04) Weiner R. S. XII 1520

Diss. Abstr. Int., 1970, B31, N4, 2196-7
(cont.)

Calculation of the perpendicular infrared band contours - application to the ν₄ band of nitrogen fluoride. Harmonic frequencies and force constants of iron pentacarbonyl. Accidental Coriolis resonance in symmetric top molecules

10

2



CA, 1971, 75, N10, 69056 P

NF₃

1977

Cyclo/cit. 45754t Basicity of nitrogen trifluoride in the gas phase by ion cyclotron resonance. Beauchamp, Jessie L.; Holtz, David; Henderson, William George; Taft, R. W. (Dep. Chem., California Inst. Technol., Pasadena, Calif.). *Inorg. Chem.* 1971, 10(1), 201-3 (Eng). The gas-phase proton affinity (basicity) of NF₃ was quant. detd. on the basis of the ion cyclotron resonance spectroscopy of the course of the ion-mol. reactions occurring in binary mixts. of NF₃ with CH₄ and HCl and is 151 ± 10 kcal/mole, which is 56 kcal/mole less than that of NH₃. CJN

C.A. 1971 44: 10

NF₃ 12.03.64. Изучение основности NF₃ в газовой фазе методом ионного циклотронного резонанса. Holtz David, Beauchamp J. L., Henderson W. G., Taft R. W. Basicity of nitrogen trifluoride in the gas phase by ion cyclotron resonance. «Inorg. Chem.», 1971, 10, № 1, 201—203 (англ.)

Сродство
к протону

Изложено колич. определение основности NF₃ в газовой фазе, полученное при исследовании методом ионного циклотронного резонанса (ИЦР) ионно-молек. р-ций, возникающих в бинарных смесях NF₃ с CH₄ и HCl в диапазоне 10⁻⁷ и 10⁻³ мм при 70 эв. ИЦДР показал, что идут р-ции $\text{CH}_5^+ + \text{NF}_3 \rightarrow \text{NF}_3\text{H}^+ + \text{CH}_4$; $\text{H}_2\text{Cl}^+ + \text{NF}_3 \rightarrow \text{NF}_3\text{H}^+ + \text{HCl}$. Определено сродство к протону для NF₃, равное 151 ± 10 ккал/моль, что соответствует $\Delta H_{\text{п}}(\text{NF}_3\text{H}^+) = 185 \pm 10$ ккал/моль. Оцениваются различные факторы, дающие вклад в разницу основностей между NH₃ и NF₃. Сделан вывод, что различие в основности для многих серий функционально схожих молекул с хорошей точностью равно разности потенциалов ионизации.

М. Г. Еделев

X · 1971 · 12



+1(I)

65



NF₃

Labarre Jean François,
Leibovici Claude.

1971

2004.
cup.

"J. Chim. phys. et phys.-chim. biol.",
1971, 68, N 11-12, 1618-1620.

(see F₃ NO, 117 K.)

NF₃

XIII-1990-B90

1971

У 7 Б315. «Псевдопараллельные» инфракрасные полосы сплющенных симметричных волчков NF₃ ν₄ и (ν₄+ν₂) и CF₃H ν₆. Masri F. N., Blass W. E. «Pseudo-parallel» infrared bands of oblate symmetric tops NF₃ ν₄ and (ν₄+ν₂), and CF₃H ν₆. «J. Mol. Spectrosc.», 1971, 39, № 1, 98—114 (англ.)

ll. n

Проведен анализ структуры полос в ИК-спектрах высокого разрешения симм. волчков NF₃ (I) (полосы ν₄ и ν₄+ν₂ в области ~470—530 и 1099—1170 см⁻¹ соотв.) и CF₃H (II) (полоса ν₆, ~480—540 см⁻¹) с использованием ЭВМ и с учетом резонанса *l*-типа. С помощью моделирования на ЭВМ воспроизведены контуры наблюдавшихся *P*, *Q*, *R*-ветвей и воспроизведены частоты линий тонкой структуры *P* и *R* ветвей. В анализе использовались значения след. молек. постоянных:

x, 1972,

4



для I (полоса ν_4) $C_0 = 0,1949$, $B_0 = 0,3563$, $C_e = 0,1961 \text{ см}^{-1}$,

$\zeta^z = -0,895$, $\alpha_1^B = 0,00015$, $q_4 = \pm 0,00171$, $D_0^j = 4,8 \times 10^{-7}$,
 $D_0^{jk} = -7,6 \times 10^{-7}$, $D_0^k = 3,4 \times 10^{-7} \text{ см}^{-1}$, (полоса $\nu_4 + \nu_2$)

$\zeta_{4+2}^z = -0,895$, $\alpha_{4+2} = 0,00144$, $q_{4+2} = \pm 0,00171 \text{ см}^{-1}$; для
II (полоса ν_6) $C_0 = 0,1889$, $B_0 = 0,3452$, $C_e = 0,190$, $\alpha_6^B =$
 $= -0,00014$, $q_6 = \pm 0,00121 \text{ см}^{-1}$, $\zeta_6^z = -0,802$, $D_0^j =$
 $= 3,77 \times 10^{-7}$, $D_0^{jk} = -6,0 \times 10^{-7}$, $D_0^k = 3,3 \times 10^{-7} \text{ см}^{-1}$.

Установлено, что постоянные I, II l -удвоения q_4 , q_{4+2} , q_6
имеют положит. знак. Определены начала полос: для
I $\nu_4 = 493,51$, $\nu_4 + \nu_2 = 1137,58$; для II $\nu_6 = 507,82 \text{ см}^{-1}$.

Исследование структуры полос показывает, что наблю-
давшиеся «линии» P и R ветвей представляют собой
жластеры близко расположенных линий ${}^P P_k$ (J) и ${}^R R_k$
(J) данного J и что в этих полосах пики P и R «линий»
соответствуют компонентам $K \simeq JPP(J)$ и ${}^R R(J)$ жласте-
ров соотв. Определенные молек. постоянные I и II со-
поставлены с лит. значениями 2. А. П. Александров

C₂H₂

XII - 1944

1971

NF₃

156364f Isotopic substitution and the choice between alternative sets of force constants, with special reference to the cases of ethylene, ketene, diazomethane, and formaldehyde. McKean, D. C.; Duncan, J. L. (Dep. Chem., Univ. Aberdeen, Old Aberdeen, Scot.). *Spectrochim. Acta, Part A* 1971, 27(9), 1879-91 (Eng). Attention is drawn to the often-neglected alternative sets of force consts. which may reproduce equally well data which in no. and precision are otherwise adequate to define all the parameters of the general force field. An empirical survey of (2 × 2) vibrational problems illustrate some of the circumstances under which these arise. Where sym. isotopic substitution or phys. intuition fails to provide evidence for discriminating between the alternative sets, asymmetric substitution succeeds in specified cases. Examples studied in detail include the E species of NF₃, the B₂ species of ketene and diazomethane and

Chel. II

-71

(7)

(71)

C.A. 1971-75

26

the A_1 species of C_2H_4 . In the latter case, 2 different force fields are current in which $k_{c,0}$ is either ~ 11 or ~ 9 mdyne/ \AA . That the 2nd of these is the correct one, is now shown by a study of ^{13}C frequency shifts in $H_2\text{CCD}_2$. This result has important implications for the totally symmetric force consts. of other mols. contg. the methylene group, such as CH_2O , allene, ketene, diazomethane, all of which exhibit the phenomenon of 2 equally plausible force fields.

NF₃

XIII-856

1939

555192 Spectroscopic study of nitrogen fluorides. Moskvitina, E. N.; Kuzyakov, Yu. Ya. (USSR). Kolebatel'nye Spektry Neorg. Khim. 1971, 101-15 (Russ). Edited by Kharitonov, Yu. Ya. "Nauka": Moscow, USSR. A review concerning in detail ir and Raman spectra of NF₃, N₂F₂, N₂F₄, NF₂H, NF₂D, and NF₂Cl and methods and results of the calen. of integral intensities and electrooptical parameters of these compds. 46 refs.
V. Bekarek

t4

C.A.

1939

55.8



NF₃

1971

*Установка
XII - 856*

9 Б197. Спектроскопическое изучение фторидов азота. Москвитина Е. Н., Кузяков Ю. Я. В сб. «Колебательные спектры в неорганической химии». М., «Наука», 1971, 101—115

Изучены ИК-спектры поглощения фторидов азота в различном агрегатном состоянии в области 400—4000 см^{-1} . Дано отнесение частот. Проведен расчет частот и форм колебаний молекул NF_3 , NF_2Cl , NF_2H , NF_2D , N_2F_4 , CH_3NF_2 . Измерены интегральные интенсивности по-~~лос~~ поглощения, относящихся к основным колебаниям молекул NF_3 , NF_2H , NF_2D , NF_2Cl , N_2F_4 . Резюме

(см. также $\text{NF}_2(\ell)$) III

X.1971.9

☒

NF₃ 132599q Determination of the structure of pyramidal molecules of XY₃ type during the solution of a vibrational problem using centrifugal distortion constants. Ponomarev, Yu. I.; Khovrin, G. V. (USSR). *Opt. Spektrosk.* 1971, 30(2), 230-3 (Russ). A method for combined detn. of the intramol. force field and geometry of pyramidal XY₃ mols. (without using isotope substitution) during the soln. of a vibrational problem, using rotational and centrifugal distortion consts., was studied; NF₃ was used as a test model. The effect of exptl. data on the accuracy of the valence angle detn. was examd. New results concerning the AsF₃ mol. structure as well as more reliable systems of force consts. for PCl₃, PF₃, and AsF₃ mols. were obtained, the geometry of PF₃ was detd. more accurately, and the Coriolis interaction consts. of all mols. cited were calcd. In the XY₃ mols. (X = P, As; Y = H, F, Cl), the valence angle values increase in the series H < F < Cl and As < P. The method examd. needs highly accurate centrifugal distortion consts. and is less sensitive to the frequencies of normal vibrations. J. Moravec

1971

1971

1971

+3

+1 III, way



C. A. 1971. 44. 24

XI - 1136

1971

NF₃ 4 g.p. (eccip. no. 97, cl. n.)

Redington R.L., Algiebury A.Y.,

J. Mol. Spectrosc., 1971, 34, (3),

494-516

10

NF₃

XIII - 1992 1941

9 Б294. Изучение *l*-резонанса в полосе v_4 трехфото-
ристого азота с высоким разрешением. Reichman
Sandor, Ginn S. G. W. High resolution study of *l*-
type resonance in the v_4 band of nitrogen trifluoride. «J.
Mol. Spectrosc.», 1971, 40, № 1, 27—32 (англ.)

С разрешением $\sim 0,03 \text{ см}^{-1}$ исследована вращательная
структура ИК-полосы v_4 молекулы NF_3 . Анализ спектра
 проведен с учетом колебательно-вращательного *l*-резо-
нанса. Показано, что линии переходов с $\Delta K = +1$ сме-
щены в высокочастотную, а линии переходов с $\Delta K =$
 $= -1$ — в низкочастотную область, а величина смеще-
ния $\sim (I^2 - K^2)^2$. Определены значения колебательной
частоты ($v_4^0 = 493,43 \text{ см}^{-1}$), постоянные колебательно-
вращательного взаимодействия ($\alpha_{4c} = 5,3 \cdot 10^{-4} \text{ см}^{-1}$) и
l-резонанса ($q_4 = 1,71 \cdot 10^{-3} \text{ см}^{-1}$). Обнаружены также
горячие полосы $2v_4 \leftarrow v_4$ и $v_4 + v_2 \leftarrow v_2$. М. Р. Алиев

м. р.

РГУХ,

1992, n 9

NF₃

XIII -1992

1971

5 Д376. Исследование с высоким разрешением *l*-резонанса на полосе трехфтористого азота. Reichman Sandor, Ginn S. G. W. High resolution study of *l*-

type resonance in the ν_4 band of nitrogen trifluoride.
«J. Mol. Spectrosc.», 1971, 40, № 1, 27—32 (англ.)

(и.н)

• Получены ИК-спектры газообразного NF₃ в области 470—520 см⁻¹ с разрешением 0,025—0,05 см⁻¹ в слое 3 м при давл. 10 мм рт. ст. Наблюденная колебательно-вращательная структура отнесена к полосе $\nu_4(e)$, возмущенной *l*-резонансом. Влияние резонанса выражается в усилении линий ^RP(27)—^RP(11) и ^RR(6)—^RR(29); сдвигах линий, расщеплении Q-ветви, ослаблении ее *R*-компоненты и усилении *p*-компоненты. Произведенный расчет спектра подтверждает положит. знак постоянной *l*-резонанса $q = 1,71 \cdot 10^{-3}$ см⁻¹. Вычислены колебательная частота $\nu_0 = 493,43$ см⁻¹ и постоянная $a_4^c = 5,3 \cdot 10^{-4}$ см⁻¹. Обнаружено наложение полосы горячего перехода с уровнем ν_2 . Библ. 8.

Ф. 1972

58

PF_3 , NF_3 , NH_3 , BF_3 , RuO_4 (c.v.n.) 13 16 ¹⁹⁷²/₅

Ananthakrishnan T.R., Hrudhas G,
XIII 2293

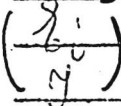
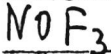
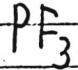
J. Mol. Struct., 1972, 13, N^o 2, 163-169
(contd.)

The calculation of unique force
constants.

PrePuz, 1973, ID166

10

6



+



X. 1972. 15

1972

15 Б149. Фотоэлектронные спектры галогенидов. III.
Трифториды и окситрифториды азота и фосфора и ок-
ситрихлорид фосфора. Bassett P. J., Lloyd D. R.
Photoelectron spectra of halides. Part III. Trifluorides and
oxide trifluorides of nitrogen and phosphorus, and pho-
sphorus oxide trichloride. «J. Chem. Soc. Dalton Trans.»,
1972, № 3, 248—254 (англ.)

Получены фотоэлектронные спектры NE₃, PF₃, NOF₃ и POF₃ с высоким разрешением и с использованием источ-
ников излучения He-I (5844) и He-II (304A), а также
спектр POCl₃ с низким разрешением. Приведены изме-
ренные адиабатич. и вертикальные потенциалы иониза-
ции исследованных молекул и графики спектров, на
к-рых наблюдается тонкая колебательная структура. Най-
денные потенциалы ионизации сопоставлены с энергиями
МО, полученными при расчетах неэмпирич. методом
МО ЛКАО ССП (РЖХим, 1971, ЗБ28). Хотя точного ко-
лич. согласия не наблюдается, такое сопоставление под-

тврждает предложенное отнесение потенциалов ионизации (колич. согласие улучшается при введении в вычисленные энергии эмпирич. поправочного уровней коэф. 0,92). Исключение составляет молекула NOF_3 , для к-рой предложенное ранее отнесение опровергается отсутствием полос в спектре в области 21—25 эв. Сопоставление спектров тригалогенидов и их окислов позволяет сделать вывод, что в окислах происходит стабилизация орбиты не-поделенной электронной пары молекулы-донора за счет образования связи с O, тогда как остальные MO стабилизуются в меньшей степени. Проведено также сопоставление уровней POCl_3 с SiCl_4 и POF_3 с SiF_4 , но обнаружить аналогичную корреляцию между уровнями NOF_3 и CF_4 или NF_3 не удается. Сообщ. II см. РЖХим, 1971,
21Б111.

М. Дяткина

NF₃

1972

4 Б110 Д. Теоретические и экспериментальные исследования в области фотоэлектронной спектроскопии газообразных молекул. G r i e b e l R u d o l f. Theoretische und experimentelle Untersuchungen zur Photoelektronen-Spektroskopie gasförmiger Moleküle. Diss., Dokt. Naturwiss.-Fak. Allg. Wiss. Techn. Univ. München, 1972, 137S., ill. с (нем.)

Дан обзор лит. работ по относит. интенсивностям фотоэлектронных спектров и проведены расчеты сечений ионизации для нек-рых модельных потенциалов. Рассмотрены эксперим. данные для NF₃ и пр-ных фенилацетилена, а также вопросы расчета коэф. Франка — Кондона. Данна схема фотоэлектронного спектрометра новой конструкции.

В. И. Нефедов

X/1974/НЧ



+1 общ. разд.

BF_3 , PF_3 ; AsF_3 , NF_3 (cuv. nociū.) 1972
13 15

Hey A.R., Stone J.M.R., Watson J.K.G.
 $\times \overline{\text{III}} 2234$

J. Mol. Spectrosc; 1972, 42, N₂, 393-
-9 (cuv.)

Ambiguities in the harmonic
force fields of XY_3 molecules.

10



CA, 1972, 44, N₂, 115477

NF₃, O₃⁺, O₃, O₃⁻, CF₃ (reas. exp. etm.;) paciem 1972

McCain D.C., Palke W.E. XI 2984

J. Chem. Phys., 1972, 56, N10, 4957-
-4965 (arev.)

Calculation of hyperfine
coupling constants in inorga-
nic radicals.

PG72

BTC 21524

8 neffabs

6213

6213

OsO_4 , RuO_4 , BF_3 , NF_3 , SF_6 , MoS_2 ,
 $\text{MoO}_2\text{S}_2^{2-}$ (0i, cew. u.) $\underline{\text{XII}}$ 1075/19%

Müller St., Schmidt K.H., Mo-
han N., J. Chem. Phys., 1972,
57, N4, 1752-1757

10

1972



Геометр.

18 Б225. Оценка структуры молекул с использованием постоянных центробежного растяжения. Пономарев Ю. И., Ховрин Г. В. В сб. «Материалы 1-го Всес. симпоз. по вращательн. спектрам молекул. 1969». Баку, 1972, 144—146

На примере молекул NF_3 (I) и NH_3 (II) рассмотрено определение структурных параметров отдельной молекулы без привлечения спектроскопич. данных о вращательных постоянных изотопич. молекул. Структурные параметры (длина связи r и угол между связями α) I и II определяются совместно с шестью силовыми коэф. из частот нормальных колебаний v_1, v_2, v_3, v_4 , постоянной кориолисова взаимодействия ζ_3 или ζ_4 , постоянных центробежного искажения D_J и D_{JK} и вращательной постоянной B . Для упрощения задачи в расчетах используются не D_J и D_{JK} , а отношения D_J/B^3 и D_{JK}/B^3 , к-рые не зависят от длины связей. Приведены результаты расчета для I и II при использовании гармонич. и фундаментальных значений частот колебаний.

А. П. Александров

Х. 1972 № 18

ХХIII-8



(+) 11

NF₃

1972

Prophet H., Syedna A.N.

Govt. Rep. Announce, 1972,
Y2, 76-77.

• (on the beg) III

NF₃

Onset of resonance

Kalman Berry L 1973

"J. Chem. Phys"

1973, 59, N.9,

Self-consistent extended
Hückel theory; I

NF_3

A. Müller, N. Mokan

1973

ср. амн.
касб.

C. n.

"J. Chem. Phys.", 1973, 58, N⁷
2994-3000.

NF₃

спектр

XIII - 2596

ф. 1974
N6

6 Д449. Резонанс *l*-типа в полосах обертонов.
Спектр в области полосы $2v_4$ трехфтористого азота.
Reichman Sandor, Schatz Jan. *l*-type resonance in an overtone band. The $2v_4$ spectrum of nitrogen trifluoride. «J. Mol. Spectrosc.», 1973, 48, № 2, 277—282
(англ.)

Получены ИК-спектры поглощения газообразного NF₃ в области полосы $2v_4$ с разрешением 0,05 см⁻¹. Проведен вращательный анализ низкочастотного крыла полосы, свободного от перекрывания с v_1 . Определены колебательная частота и константа колебательно-вращательного взаимодействия a_4 . Отмечен случай *l*-резонанса. Рассмотрен *l*-резонанс для обертонов и показано, что при небольших величинах g_{ii} резонанс может быть даже сильнее, чем на соответствующем основном тоне. Возмущения интенсивностей могут приводить к возникновению запрещенных полос. Применение выводов теории позволило определить параметры резонанса q_4 и g_{44} и отношение колебательных интенсивностей перпендикулярной и парал. компонент полосы: Библ. 9.

М. В. Тонков

1973

Физика 1870

Физика 1870

отмече 1870

1973

NF₃

13 Б282. Резонанс *l*-типа в обертонной полосе.
Спектр трифтторида азота в области полосы $2v_4$. Reich-
man Sandor, Schatz Jan. *l*-type resonance in an
overtone band. The $2v_4$ spectrum of nitrogen trifluoride.
«J. Mol. Spectrosc.». 1973, 48, № 2, 277—282 (англ.)

Исследован с высоким разрешением ($\sim 0,050 \text{ см}^{-1}$)
ИК-спектр поглощения NF₃ (I) (газ) в области полосы
 $2v_4$ ($\sim 960—1000 \text{ см}^{-1}$). Рассмотрены недиагональные
матричные элементы колебательно-вращательного га-
милтониана *H* для молекулы симметрии C_{3v} , ответст-
венные за резонанс *l*-типа для полос обертонов, в част-
ности для полосы $2v_4$. Показано, что при достаточно
малых значениях постоянной *gll* эффект *l*-резонанса в
полосе обертона может быть столь большим или даже
большим, как и в соотв-щей основной полосе. В резуль-
тате резонанса *l*-типа в полосе обертона возможно по-

м.н. д.

ж. 1974 № 13



ХХХ-2596

явление линий запрещенных переходов. Путем расчета на ЭВМ с использованием специально написанных программ воспроизведен ИК-спектр поглощения I в области полосы $2\nu_4$. При этом большинство молек. постоянных I взято из предшествующих работ. Путем варьирования определены след. молек. постоянные I (полоса $2\nu_4$): $\nu = 983,74 \pm 0,02$, $C'' - C' = (1,06 \pm 0,05) \times 10^{-3}$, $q_4 = (1,66 \pm 0,03) \times 10^{-3}$, $g_{44} = 0,729 \pm 0,005 \text{ см}^{-1}$, отношение колебательной интенсивности перпендикулярной и параллельной компонент полосы $I_{\perp}/I_{\parallel} = 0,30 \pm 0,05$.

А. П. Александров

УФ₃

Дудин А.В.

1974

Санников А. М.

"Второй Всес. конгр. по астрономии и спектротехнике, 1974, Тегеранский зоны" в „Наука" 1974, 159-160.

А.Р.

(call УФ; III)



NF₃

Omnitech 3995

1974

BF₃

Harland P.W. et al.

CF₄

J. Chem. Phys., 1974,

61 N5, 1621-35.

Partitioning of excess energy
in dissociative resonance ..

41031-95

Ph, Ch, TC

41125

NF₃-радикал

1974

44-7106

Jacob Marilyn E., Milligan Dolphus E.,
 Guillory William A., Smith Jerry J. Matrix-isolation study of the vacuum-ultra-violet photolysis of NF₃. The electronic spectrum of the NF₂ free radical. "J. Mol. Spectrosc.", 1974, 52, N 2, 322-327
 (англ.)

198 199 216 8224 ПИК ВИНИТИ

40919.6340

Х, ТС

NF₃

00394 01

1974

образ при инициаторе

2395

Исследование реакции тетрааргоргидразина
с азотистоводородной кислотой методом

импульсного фотолиза. Москвитина Е.Н.,

Земанский В.М., Кузяков Ю.Я.

"Вестн. Моск. ун-та. Химия", 1974, 15,

№ 4, 486-487 (рез. англ.)

0193

177 180 185

ВИНИТИ

1974

N^o 3

Бюллетень по научно-исслед.

работе ИВГАН отца свт. арх.

"Первое духовническое сб.-ба-

щ. п.

аузата, водорода и их
сочинений.

IX 4856 1974
RbCl, MgCl₂,
NF₃, SF₄, HF, SCl₂, Cl₂O, (CH₃)₂O(D₂)

Sanderson R.T.

Educ. Chem., 1974, 11(6), 208-9

○

H₂, H

40626.8159

TC, Ph, Ch

41125 02

1974

NF₃

XII-2656

2190

Sawodny Wolfgang, Pulay Péter. Ab
initio study of the force constants of
inorganic molecules ONF and NF₃. "J.
Mol. Spectrosc.", 1974, 51, N 1, 135-141

(англ.) (см. ONF; II)

0493-5517

ВИНИТИ

115 117

40919.6332

Х, ТС

 NF_3

00394 01

1974

догр. приемаузен-2396
догодище

Исследование [] реакции тетрафторогидразина с водородом методом импульсного фотолиза. Заманский В.М., Москвитина Е.Н., Кузяков Ю.Я.

"Вестн. Моск. ун-та. Химия", 1974, 15,
 № 4, 458-460 (рез. англ.) 0193

177 180 185

ВИНИТИ

XIII-3547

1975

DODRÉM et al., DFBH, BH₂, BH₃, CH, CH₂,
CH₃, NH, NH₂, NH₃, NO, NO₂, NO₃, NF,
NF₂, NF₃)

Locality C.S.R., Vyanna J.D.M.,
J. Phys. B: Atom. and Mol. Phys., 1975,
L. 1975, 2987-2994

FNO

XES - 10886

1975

Chong Delano P.

(3)

"J. Electron Spectrosc and
Relat Phenom" 1975, 7,
N6, 445-455 (auw)

(see HNO; II)

51118.1856

TC, Ch, Ph

NF_3 (f.y.t.)
(Δ_{N-F}) 40892

1975
3501

Dorko Ernest A., Grimm U.W., Scheller K.,
Mueller Gerhard W. Shock tube decomposi-
tion of dilute mixtures of nitrogen trif-
luoride in argon.

"J. Chem. Phys.", 1975, 63, N 8, 3596-
3601 (англ.)

0489 ник

476 478

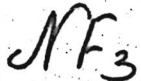
ВИНИТИ

50715.252

TC,Ch

29547 GR

1975



X-4-9472

Glidewell C. Bond angles in halides and
hydrides of nitrogen and oxygen. "Inorg.
and Nucl. Chem. Lett.", 1975, 11, N 5,
353-357

(англ.)

0409 пик

379 381

ВИНИТИ

NF₃

NF₄

OMM. 4468

1975

Kulkarni, K.S., et al.

Judicae sp. Pure and
Appl. Phys., 1975, 13,
N/1, 780-2.

(paecilis
SN. 0234)

(all CFS) 11

K_2F_2 , N_2F_4 , NF_3 XI4526 1975
(спектр поглощ., fmн.)

Макеев Т.Н., Синегорский В.Ф.,
Еширов Б.М., 11.

Докл. АН СССР, 1975, 222(1), 151-11.

Спектр поглощений идентичен
фотографиям близких гидро-
гидратов с обесцвечи-

с. д. 1975. 83 № 10. 87754н 10

XIS-8336

1975

HF₃

Peinel Gerstav.

Pactem
μ.

"Mol. Phys.", 1975,
29 N2, 641-43.

Pactem grnt. ucc. cccchmc,

50905.1303

34469

1975

Ph, TC, MGU

NF_3 XII-3480

4-10011

Ramaswamy K., Sridharan T. Unique force
fields of some XY_3 -type molecules.

"Indian J. Pure and Appl. Phys.", 1975,

13, N2, 98-100. (англ.)

0444 УМК

(если NH_3 ; III)

414 414

ВИНИТИ

NF₃

Д273 Энергетика процессов ионизации и распадов молекулы трехфтористого фосфора под воздействием электронного удара. Torgerson David F., Westmore John B. Energetics of the ionization and fragmentation of phosphorus trifluoride by electron impact. «Can. J. Chem.», 1975, 53, № 6, 933—938 (англ.; рез. франц.).

1975

Масс-спектрометрич. способом получены кривые эффективности выхода основных положит. ионов, которые являются продуктами электронной бомбардировки PF₃. Найдены потенциалы появления (в электрон-вольтах): PF₃⁺ ($11,65 \pm 0,07$); PF₂⁺ ($15,5 \pm 0,2$); PF⁺ ($20,5 \pm 0,2$); PF₂⁺⁺ (~ 40); P⁺ ($32,3 \pm 0,5$); PF⁺⁺ (~ 40) и F⁺ (~ 36). Приводится также кривая выхода иона F⁻, единственного отрицат. иона, который образуется в заметных кол-вах. Обсуждаются возможные механизмы диссоциативной ионизации. Проводится сопоставление измеренных и известных потенциалов ионизации следующего ряда молекул и радикалов: NF₃, NF₂, NF; PF₃, PF₂, PF; PCl₃, PCl₂, PCl; PBr₃, PBr₂, PBr; PJ₂; AsCl₃.

F. A. Вороне

(J, A. P.)

+14

⊗

(+) и.с

ф. 1975

N10

60412.1282

Ex-AR/KP-z, TC

(недокументированное
издание)
 NF_3) 100

Ph, MGU

1976

F (-)

3999

Bigio Irving J., Begley R.F. High-power visible laser action in neutral atomic fluorine. "Appl. Phys. Lett.", 1976, 28, N5, 263-264 (англ.)

0590 нац

576 577 582

ВИНИТИ

NF_3

1976

Boldig Kleinz

Z. Chella. 1976, 16 VII,
430-5

(cir. 100)



(Gg. H₂O; III)

N73

1976

Burdett J. K.

(read)

Huet. and Bouc, 31
Berlin, P.Q., 1976, 67-105/

(au. Befz; III).

60312.8779

Ch, Ph, TC, MGU

1976

41125

NF_3 (и.и.)

05T. 4396

Duncan J. Lindsay.

The centrifugal distortion constant D_K
of symmetric top molecules.

"J. Mol. Spectrosc.", 1976, 60, N 1-3,
225-233 (англ.)

646-658

9878
ВИНИТИ

61206.4314

+ 40892

1976

Ch, Ph, TC, ESR-Q

NF_3

(одн. ячейка)

#9-15594

Hudson, Reggie L., Williams Francon
The ESR spectrum and structure of BF_3^- .
"J. Chem. Phys.", 1976, 65, N 8, 3381-3382

(англ.)

0760 ник

739 746 757

ВИНИТИ

* 68-13546

1976

NF₃

NF₅

NCl₃

NCl₅

Кв. нест.
расчет
дл. симметрии.

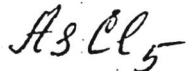
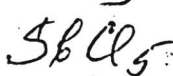
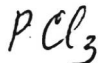
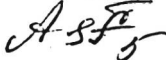
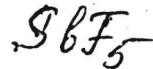
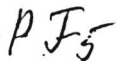
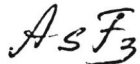
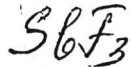
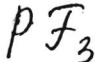
(*)

2. 1976 № 22.

22 Б26. Расчеты три- и пентагалогенидов элементов 5 группы неэмпирическим методом молекулярных орбиталей самосогласованного поля в валентном приближении. Murrell John N., Scollay Саголе E. Non-empirical valence-shell self-consistent field molecular-orbital calculations on group 5 tri- and penta-halides. «J. Chem. Soc. Dalton Trans.», 1976, № 9, 818—822 (англ.)

Неэмпирическим методом ССП МО ЛКАО в валентном приближении (J. Chem. Soc. Far. Trans., 1975, 890) проведены расчеты электронного строения три- и пента-фторидов и -хлоридов азота, фосфора, мышьяка и сурьмы. В расчетах использован минимальный базис с включением d-АО для элементов 5 группы. Рассчитанные геометрии тригалогенидов согласуются с экспериментальными. Рассчитаны энергии диссоциации для процесса $MX_5 \rightarrow MX_3 + 2X$, к-рые найдены отриц. для NF₅, NCl₅, и AsCl₅. Расчеты смешанных пентагалогенидов Р с тригонально-бипирамидальной структурой показали, что атом F во всех случаях по энергии предпочтительно занимает экваториальное положение. По резюме

см. на другой



ерми

NF_3

Slavina Z.

1976

"Collect Czech Chem Communis"

year.

1976, 41, N7, 1864-1874 (aww)

maxima.

(see NF_2 ; III)

*43 - 14806

61227.2137

Ch. MGU. Ph. TC

41125

Nf₃

-1976

X 45-15924

van Straten A.J., Smit W.M.A. Bond
charge parameters from integrated infrared
intensities. "J. Mol. Spectrosc.", 1976,
62, №3, 297-312 (англ.)

077.8 мк

734 739 170

ВИНИТИ

NF₃

Column 5234

1977

Evans P. J., et al
J. chem. Phys., 1977,
66, N9, 4253-4.

Reply to comments on the shock-
induced decomposition of NF₃
in argon.

NF₃

Louisi 53151 - 1942

Fontal B, et al.

Spectrochim. Acta, 1947,

(Rauman - cileksp,
uasapuusyall.)

33A, 507-15

опись 5833

1977

NF₃

4 Д361. Интенсивность обертонов и комбинационных полос ИК-спектра NF₃. Golden William G., Jeannotte A. C., II, Blackburn Carol C., Overend John. Intensities of binary overtone and combination bands in the i. r. spectrum of NF₃. «Spectrochim. acta», 1977, A 33, № 10, 901—906 (англ.)

Получены спектры ИК-поглощения NF₃ и его раствора в жидким аргоне в области 900—2100 см⁻¹. Измерены интенсивности полос обертонов и комбинационных полос. Выполнен расчет этих интенсивностей в предположении равенства нулю вторых производных дипольного момента по норм. координате. Первые производные дипольного момента определены по литературным данным об интенсивностях. Интенсивность обертонов и

φ, 1978 N4

комбинационных полос полносимметричных колебаний близка к нулю, что согласуется с нулевым значением соответствующих коэффициентов амплитудности. Точность определения остальных интенсивностей составляет ~10%. Результаты расчета интенсивности деформационных колебаний хорошо согласуются с опытными данными, для валентных колебаний согласие несколько хуже. Обсуждена применимость модели полярного тензора к расчетам интенсивности основных полос. Библ. 15.

М. Тонков

NF₃

отмечено 5833

1977

(4 Б212.) Интенсивность двойных обертонов и составных полос в инфракрасном спектре NF₃. Golden William G., Jeannotte A. C., II, Blackburg Carol C., Overend John. Intensities of binary overtone and combination bands in the i. r. spectrum of NF₃. «Spectrochim. acta», 1977, A 33, № 10, 901—906 (англ.)

(2)

Измерены в области частот от 980 до 2050 см⁻¹ абс. интенсивности всех первых обертонов и парных составных полос колебаний ν_1 , ν_2 , ν_3 и ν_4 NF₃ в газ. и жидк. фазах. Измеренные интенсивности сопоставлены с вычисленными в ангармонич. приближении. При расчетах вторые пр-ные дипольного момента по нормальным координатам положены равными нулю и использованы первые пр-ные дипольного момента по безразмерным нормальным координатам и кубич. силовые по-

д. 1978, № 4

стоянныe в пространстве нормальных координат. Получено хорошее согласие между измеренными и вычисленными интенсивностями для $2\nu_1$, $2\nu_2$, $\nu_1+\nu_2$, $\nu_1+\nu_3$, $\nu_1+\nu_4$, и $\nu_2+\nu_3$ полос. Однако для обертонаов вырожденных колебаний и составных мод. ($2\nu_3$, $2\nu_4$ и $\nu_3+\nu_4$) наблюдается расхождение между измеренными и вычисленными интенсивностями, что м. б. связано с пренебрежением в расчетах высшими членами дипольного разл. или с неточностью модели ангармонич. силового поля.

С. Н. Мурзин

1977

NF₃

N₂O

W.K. Clegg

Low. Ar.

Di

89: 50750c Infrared spectra of simple molecules in liquid--argon solution. II. Nitrogen trifluoride and nitrous oxide. Jeannotte, A. C.; II; Overend, John (Dep. Chem., Univ. Minnesota, Minneapolis, Minn.). *Spectrochim. Acta, Part A* 1977, 33A(12), 1067-71 (Eng). The IR spectrum was measured of NF₃ in liq. Ar at 0.10-2.35M. The IR spectrum of the N₂O impurity was also measured in liq. Ar to aid band assignment. For NF₃, 29 overtone and combination bands were identified in addn. to the vibrational fundamentals. The wave nos. of the NF₃ bands were used to est. the anharmonic coeffs. x_{uv} and g_{uv} , which are compared with the corresponding gas-phase quantities. 89: 50750d Two high pressure modifications of Lithium tungstate (Li₂WO₄). Hauck, J.; Rosenthaler, M. (Inst. Festkoerperforsch., Kernforsch. Julich, Julich, Ger.). *Spectrochim. Acta, Part A* 1977, 33A(12), 1103-4 (Ger);

(+1) 18

C. A. 1978. 89 n 6

NF₃

[XUS - 18930]

1977

Schmiedekamp J. et al.

(Received)
M.N.) "J. Chem. Phys." 1977, 66,
N₁₂, 5469-5476 (ans.)

(coll. NH₃; II)

NF₃

2mmcccl 57492 1974

matthews

J.

Shimanouchi T.

5. 1970. Chon. and Noz. Date,
1977. G. 905-2202.

1978

NF₃

16 Б1545. Реакции трифторида азота, инициируемые инфракрасным излучением. Адамова Ю. А., Зубков В. И., Каграманова Э. М., Кузнецова Т. В., Панкратов А. В., Скачков А. Н., Соснина Г. Ф. «5-й Всес. симпоз. по химии неорганических фторидов, Днепропетровск, 1978». М., 1978, 25.

Обнаружены реации $NF_3 + 3/2CO = 3/2COF_2 + 1/2N_2$, $\Delta H = -157$ ккал/моль (1), $NF_3 + 3/2SO_2 = 3/2SO_2F_2 + 1/2N_2$, $\Delta H = -148,9$ ккал/моль (2), $NF_3 + NO = FNO + N_2F_4$, $\Delta H = -7,8$ ккал/моль (3), протекающие при инициировании излучением лазера на CO₂ на частотах 907 или 1031 см⁻¹, возбуждающим вал. кол. N₂F₄. Измерены пороговые плотности излучения, составившие для реаций (1)–(3) 130, 350 и 400 вт/см² соотв. Реации (1), (2) протекают с колич. конверсией CO и SO₂ от одного импульса излучения и сопровождаются видимым свечением. Выход N₂F₄ в реации (3) растет с числом импульсов излучения, достигая за 300 импульсов 80% при квантовом выходе 10⁻². На основе термоди-

Констант
возбужд.
Москв.

Х. 1978 № 16

намич. расчетов предполагается, что в р-циях участвуют колебательно-возбужденные молекулы NF_3 .

Г. В. Шмерлинг

576,
 O_3 .

NF₃

1978

PF₃

unpublished.

6 script

89: 97448a G-intensity sum rule applications: XY₃ molecules.
Bruns, Roy E.; Bassi, A. B. M. S. (Inst. Quim., Univ. Estad. Campinas, Campinas, Brazil). *J. Chem. Phys.* 1978, 68(12), 5448-50 (Eng). Using the pyramidal XY₃ (X = N, P; Y = H, F) mols. as examples, the G-intensity sum rule of B. L. Crawford (1952), expressed in terms of effective charges, is shown to be an effective test of the numerical results of vibrational analyses. Errors in previously reported effective charge values for NF₃ and PF₃ are cor. Values for the as yet unreported polar tensors of these mols. are presented. Comparisons of these results with those previously reported for other mols. are made.

(+)

CA, 1978, PG, NL

1948

Corderman R.R. et al

NF₃

Ag⁺

do

Inorg. Chem., 1948, 17,
N6, 1585-88

(See PF₃;) ^{III}

NF₃

J.
Reproduced
noct

88: 112828z The Raman spectrum of nitrogen trifluoride: Coriolis coupling and transition dipole interaction in the liquid. Gilbert, M.; Nectoux, P.; Drifford, M. (Serv. Chim. Phys., CEN Saclay, Gif-sur-Yvette, Fr.). *J. Chem. Phys.* 1978, 68(2), 679-81 (Eng). First order Coriolis coupling in an e-symmetry mode of a sym. top and its consequences on the assocd. Raman line in the liq. were investigated for classical rotations and a classical harmonic vibration. Except for quantum asymmetries, the overall features of the Raman line are reproduced. The 2nd and 4th classical moments of the e-symmetry Raman line are given together with an expression of the linewidth for Debye diffusion. The relevant autocorrelation function $\langle Tr\beta(0)\beta(t) \rangle$ was obtained for free rotation and J rotational diffusion. The Raman spectrum of gaseous NF₃ was recorded and the band contours of $\nu_3(e)$ and $\nu_4(e)$ were analyzed to det. the intensity ratio between the contributions of $\gamma_{\pm 1}$ and $\gamma_{\pm 2}$. The Raman profiles were studied in the plastic crystal and in the liq. between 60 and 185 K. The intense IR lines $\nu_1(a_1)$ and $\nu_3(e)$ show complex structures made up of 2 peaks at low temp. similar to the LO-TO structures of the intense IR lines of crystals and which are due to a particularly strong transition dipole coupling. The sepn. between peaks, which is proportional to the integrated IR intensity of the lines, can be reasonably well predicted by the theory of cubic crystals. The isotropic part of

1978

6038

Onwards

C.A. 1978, 88, 1128

ν_1 loses its pseudo-LO-TO structure >100 K and narrows as the temp. increases, due to rotational averaging of transition dipole coupling. The weak IR lines $\nu_2(a_1)$ and $\nu_4(e)$ have temp.-sensitive, sym. Raman spectra which were analyzed in terms of mol. rotations. The NF_3 mols. rotate more easily about the main axis with a ratio between the mean angles Φ_1 and Φ_{\perp} of rotation about the main axis and the other axis, resp., equal to ~ 3 at 73 K. The Coriolis perturbation reduces the contribution of the spinning motion to the linewidth of ν_4 , by a factor of 3 owing to the large value of the Coriolis const. $\xi_4 = -0.895$.

NF₃
(me: vt)

*Алексеев
K. P., vi*

2.1978 N/3

13 Б184. Спектр комбинационного рассеяния NF₃. Кориолисово взаимодействие и взаимодействие моментов переходов в жидким состоянии. Gilbert M., Nestoux P., Grifford M. The Raman spectrum of NF₃: Coriolis coupling and transition dipole interaction in the liquid. «J. Chem. Phys.», 1978, 68, № 2, 679—691 (англ.)

Теоретически рассмотрен вопрос о проявлении кориолисова взаимодействия для колебаний *e*-типа молекул типа симм. волчка. Найдено выражение, описывающее форму контура линии КР, относящейся к колебаниям *e*-типа. Получены спектры КР и ИК-поглощения NF₃ в газ., жидк. и крист. (пластич. кристалл) состояниях. Линии, относящиеся к кол. $v_1(a_1)$ и $v_3(e)$ при низких т-рах имеют структуру аналогичную структуре при TO—LO-расщеплении, что указывает на сильное взаимодействие моментов переходов; величина расщепления пропорциональна интенсивности полос ИК-поглощения (как в куб. кристалле). Повышение т-ры приводит к усреднению межмолек. взаимодействий и сужению линии, относящейся к колебанию v_1 . В рамках представлений о периодичности движений молекул проанализирована т-рная зависимость контуров линий спектра ИК-поглощения, относящихся к колебаниям $v_2(a_1)$ и $v_4(e)$.

А. В. Бобров

NF₃

ФИЛИАЛ 6038

1978

8 Д429. Спектр комбинационного рассеяния NF₃: ко-
риолисово взаимодействие и взаимодействие переходных
диполей в жидкости. Gilbert M., Nectoux P.,
Grifford M. The Raman spectrum of NF₃: Coriolis
coupling and transition dipole interaction in the liquid.
«J. Chem. Phys.», 1978, 68, № 2, 679—691 (англ.)

Получены спектры комб. рас. NF₃ в области основ-
ных полос в газовой (3 атм, 300° К), жидкой фазах и
фазе пластич. кристалла в интервале т-р 60—185° К.
При переходе от жидкости к кристаллу скачкообраз-
ных изменений в спектре не наблюдалось. Показано,
что на форму полос ν₂ типа A₁ и ν₄ типа E, мало-
интенсивных в спектре ИК-поглощения, существенно
влияет вращательное движение молекул, которое при
низких т-рах можно описать моделью дебаевской диф-
фузии, а при высоких — моделью J-диффузии. Слож-
ная форма полос ν₁(A₁) и ν₃(E) приписана проявлению
продольных и поперечных квазикристаллич. колебаний.
Рассчитанная по ф-лам для кубич. кристалла структу-

спектр
K.P., Ji

ср. 1978, № 8

ра этих полос удовлетворительно согласуется с наблюдаемой. Показано, что причиной квазикристаллич. поведения жидкой фазы NF_3 является сильное взаимодействие переходных дипольных моментов, которые очень велики для колебаний v_1 и v_3 . Для объяснения некоторых деталей контуров исследованных полос развита теория кориолисова взаимодействия 1-го порядка колебаний E симметричного волчка, совершающего классич. вращение и гармонич. колебание. Получены выражения для 2-го и 4-го вращательных моментов полос вырожденных колебаний. Библ. 63. М. Тонков

андо
п/

N'F₃

9 Б230. Спектры ЭПР катион-радикалов $^{14}\text{NF}_3^+$ и $^{15}\text{NF}_3^+$. Goldberg I. B., Crowe H. R., Christe K. O. Electron spin resonance spectra of the $^{14}\text{NF}_3^+$ and $^{15}\text{NF}_3^+$ radical cations. «Inorg. Chem.», 1978, 17, № 11, 3189—3194 (англ.)

В интервале $T = 15$ —340 К исследованы спектры ЭПР катион-радикалов $^{14}\text{NF}_3^+$ и $^{15}\text{NF}_3^+$. Катион-радикалы получали при γ -облучении солей NF_4^+ или при низкотемпературном УФ-фотолизе смесей $\text{NF}_3 - \text{F}_2 - \text{AsF}_5$; $\text{NF}_3 - \text{I}_2 - \text{BF}_3$. Анизотропия спектров NF_3^+ при повышении T -ры значительно уменьшается. Спектры при высоких T -рах свидетельствуют об аксиальной симметрии катион-радикалов. При анализе спектров применяли сопоставление эксперим. спектров с рассчитанными на ЭВМ. Определены параметры спин-гамильтониана спектров ЭПР $^{14}\text{NF}_3^+$ при 26 К: $g_{\parallel} = 2,003$; $g_{\perp} = 2,006$; $g_{\text{изо}} =$

*спектр
2178*

Х.1979/19

$a_{\parallel}(F) = 2,005$; $\tilde{a}_{\parallel}(F) = 30,8$; $a_{\perp}(F) = (-)3,3$; $a_{\parallel}(N) = 11,49$;
 $a_{\perp}(N) = 7,8$; $a_{\text{изо}}(F) = 8,1$; $\tilde{a}_{\text{изо}}(N) = 9,0 \text{ мТ}$ и при 240 К:
 $g_{\parallel} = 2,0073$; $g_{\perp} = 2,0040$; $g_{\text{изо}} = 2,0051$; $a_{\parallel}(F) = 2,00$;
 $a_{\perp}(F) = 12,48$; $a_{\parallel}(N) = 8,70$; $a_{\perp}(N) = 9,36$; $a_{\text{изо}}(F) =$
 $= 8,99$; $a_{\text{изо}}(N) = 9,14 \text{ мТ}$. Определены также параметры спин-гамильтониана спектров катион-радикалов $^{15}\text{NF}_3^+$. Оценено распределение спиновой плотности в NF_3^+ и обсуждается их структура. NF_3^+ имеют пирамидальную структуру, однако, степень пирамидальности уменьшается в след. последовательности изоэлектронных радикалов: BF_3^- ; CF_3^- ; NF_3^+ . В. В. Жуков

1978



*unpubl.;
J. Am. Chem. Soc.
submitted.*

C.A. 1978, 80,
N24

89: 206909z Electron spin resonance spectra of the $^{14}\text{NF}_3^+$ • and $^{15}\text{NF}_3^+$ • radical cations. Goldberg, I. B.; Crowe, H. R.; Christe, K. O. (Rockwell Int. Sci. Cent., Thousand Oaks, Calif.). *Inorg. Chem.* 1978, 17(11), 3189-94 (Eng). The ESR spectra of the $^{14}\text{NF}_3$ and $^{15}\text{NF}_3$ radical cations were obsd. over the temp. range 15-340 K. The radical cations were generated either by γ irradn. of NF_4^+ salts or by low-temp. UV photolysis of $\text{NF}_3\text{-F}_2$ -Lewis acid mixts. For NF_3 , 2 different types of spectra were obsd. At the lower temps., a highly anisotropic spectrum was obtained which is attributed to a rigid radical. At the higher temps., a more isotropic spectrum was obsd. which is attributed to NF_3 of axial symmetry. At the lower temps., a highly anisotropic spectrum was obtained which is attributed to a rigid radical. At the higher temps., a more isotropic spectrum was obsd. which is attributed to NF_3 of axial symmetry. An anal. of the obsd. spectra was carried out and was supported by computer simulations and the obsd. ^{15}N isotopic data. The previously reported value of the isotropic F hyperfine splitting is incorrect. The resulting spin d. distributions indicate that NF_3^+ • is pyramidal but that within the isoelectronic series BF_3^+ •, CF_3^+ •, NF_3^+ •, the planarity of the radicals increases from BF_3^+ • toward NF_3^+ •.

N.F.
3

расчет
ср. квадр.
амплитуд.
коэффициент

(+5)

ср. 1978, № 10

стрия 6316, XIII - 4302
1978

10 Д148. Расчеты изменений в значениях среднеквадратичных амплитуд некоторых пирамидальных молекул типа XY_3 . Ramaswamy K., Palaniapan P. I. Rm. On the calculation of the change in the mean-square amplitude values of some XY_3 pyramidal type molecules. «Acta phys. pol.», 1978, A53, № 4, 613—618 (англ.)

Метод Цивина, позволяющий рассчитывать матрицу среднеквадратичных амплитуд колебаний молекулы по известной матрице средних амплитуд колебаний родственной ей молекулы, применен для расчета среднеквадратичных амплитуд колебаний молекул NF_3 , AsF_3 , PH_3 , AsH_3 , NH_3 и SbH_3 . Рассчитанные значения среднеквадратичных амплитуд хорошо согласуются с значениями, найденными методом газовой электронографии.

А. Дементьев

отиск 6316 1948

NF₃

22 Б61. К расчету изменения в значениях среднеквадратичных амплитуд некоторых пирамидальных молекул типа XY₃. Ramaswamy K., Palaniapan P. I. Rm. On the calculation of the change in the mean-square amplitude values of some XY₃ pyramidal type molecules. «Acta phys. pol.», 1978, A53, № 4, 613—618 (англ.)

Для пирамидальных молекул NF₃, AsF₃, PH₃, AsH₃, NH₃ и SbH₃ с помощью предложенного ранее метода (см. «Acta Phys. Pol.», 1977, A51, 777) рассчитаны изменения среднеквадратичных амплитуд при переходе от одной молекулы этого ряда к другой, и результаты сопоставлены с электронографич. данными. На основании полученных среднеквадратичных амплитуд колебаний методом параметрич. представления найдены наборы силовых постоянных. Рассчитанные величины сопоставлены с соотв.-щими силовыми полями, вычисленными ранее из постоянных кориолисова взаимодействия, постоянных вращательного искажения и средних амплитуд колебаний, а также с силовыми полями, найден-

facets
ill, n.
act. res.

(5)

д. 1948 № 2

4302 XIII -

ными др. авторами. С целью дополнительной проверки
указанного метода для перечисленных молекул рассчи-
таны постоянные вращательного искажения D_j , D_{jk}
и D_k , постоянные кориолисова взаимодействия ζ_3 и ζ_4
и частоты нек-рых изотопозамещенных молекул ($^{15}\text{NF}_3$,
 NL_3 , PD_3 , AsD_3 , SbD_3). Отмечено хорошее согласие всех
рассчитанных молек. параметров с эксперим. данными.

Ю. Н. Панченко

рич.
енг.

NF_3

1979

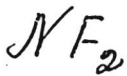
Chen C.

Int. J. Quantum Chem., 1980
18, N1, 199-204.

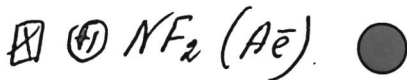
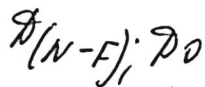
R.D. Weiss.
pwcr.

corr. $NF-III$

1979



92: 1156an Mass-spectrometric study of nitrogen trifluoride by electronic impact. Dudin, A. V.; Baluev, A. V.; Gorokhov, L. N. (Inst. Nov. Khim. Probl., Chernogolovka, USSR). *Izv. Akad. Nauk SSSR, Ser. Khim.* 1979, (16), 2172-7 (Russ). From mass spectral data, the electron-impact ionization of NF_3 with formation of pos. and neg. ions was studied, and the appearance potentials and initial kinetic energies of the ions were detd.; the N-F bond energies, the heat of dissociation of NF_3 , and the electron affinity of the radical NF_2 were calcd.



C.A.1980.92, N2

NF_3

Commun 9315 | 1979

вересок.

Jameson C.Y.; et al.

бзакос.

J. Phys. Chem., 1979,

83

83 (26), 3372-78.

NF₃

1979

Ржунисов А. Ф. ипп.

(1/1c)

Узб. библ. зреен. забыт.
1979, 22 (7), 901-2.



(вид. AS F₃; III)

NF₃

(217.2) в пакке Hargittai

15.4.99

17 Б25. Исследование базиса в модели отталкивания электронных пар валентной оболочки путем эмпирического расчета изменений геометрии в рядах тетраэдрических и родственных молекул. Schmiedekamp Ann, Cruickshank D. W. J., Skaagur Steen, Pulay Péter, Hargittai István, Boggs James E. Investigation of the basis of the valence shell electron pair repulsion model by ab initio calculation of geometry variations in a series of tetrahedral and related molecules. «J. Amer. Chem. Soc.», 1979, 101, № 8, 2002—2010 (англ.)

В рамках модели отталкивания электронных пар валентной оболочки, проведены неэмпирические расчеты равновесной геометрии NH₃, NF₃, H₂O, F₂O, PH₃, PF₃, SH₂, SF₂, SO₂, SO₂F, SOH₂, SO₂H₂, HSF, SH₃⁺, NH₂⁻, NF₂⁻ и NH₄⁺. Использован базис сгруппированных гауссовых ф-ций $(7,3,1) \rightarrow [5,3,1]$ N, O, $(10,6,1) \rightarrow [7,4,1]$ P, S и 3 s-AO H (базис *spd*), а также полученный из него исключением d-ф-ций (базис *sp*). Геометрия молекул оптимизирована градиентным методом. Результаты расчетов в базисе *spd* хорошо воспроизвели эксперим.

Дж геометрия

+14

2.1979 N14

NF₃

Omnium NZ Branch
Hargittai 1979

rb. sect.
faceets
merceria

Smedesamp J.
et al.

J. Amer. Chem. Soc.
1979, 101, p2002-10

NF₃

OTTICK 8795

1979

SO S. P.

Chem. Phys. Lett. 1979,
67, N2-3, 516-18.

RECEIVED
PARCERI
RECEIVED

XIII-4745

Cell. CF₃⁺ - III

NF_3^+

OTTAWA 8795

1979

Sj S. P.

co. veeex.
picreel.
xanthophid

Chem. Phys. Lett., 1979,
67, No. 3, 515-18.

XIII - 4745



att. $CF_3^+ - \bar{II}$